

実験屋のための実践的核反応論

東大CNS 下浦 享

はじめに

(目標)

「核反応で、何をどうやれば何がどの程度わかるか?」についてのセンスを磨き、実験提案や実験解析に実践的に生かせるようになろう

(素朴な疑問)

- 核反応モデルの背後にある基本的考え方、予言能力、限界は?
- 計算コード (ECIS, DWUCK, ...) は結局何を計算しているのか?
- 手計算で何がわかり、計算コードの出力から何を読み取るのか?
- その他 (受講者からの疑問を歓迎する)

(内容)

初日 (2コマ) は、主に青色の部分について、非相対論的な散乱の量子論の解説を中心にする

(資料)

プレゼンテーションに加えて、実際の計算のための公式、コードの使い方、advance level の公式などのメモを提供する

Menu

- おさらい
- Distortion
 - **核子あたり 100 MeV 以上の陽子衝突を除いて、平面波ボルン近似の criterion は満たさない**
 - **別の近似方法** : Eikonal 近似
 - **相互作用領域で、どれくらい波が歪んでいるのか？**
 - **歪んだ波を用いた近似は？ (DWBA)**
- **非弾性散乱と $B(O\lambda)$**
 - Isovector と Isoscalar
 - Bernstein's Prescription
 - **核応答**
 - **集団性、相関**
- Spectroscopic Factor **について**
 - ANCとSpectroscopic factor
- DWBAコードの**使い方、注意点**

おさらい

$a+A \rightarrow (b+B)$ 反応

この反応を含む、 $a+A$ で入射する核反応を記述する波動関数は、漸近形が以下の条件を満たさなければならない

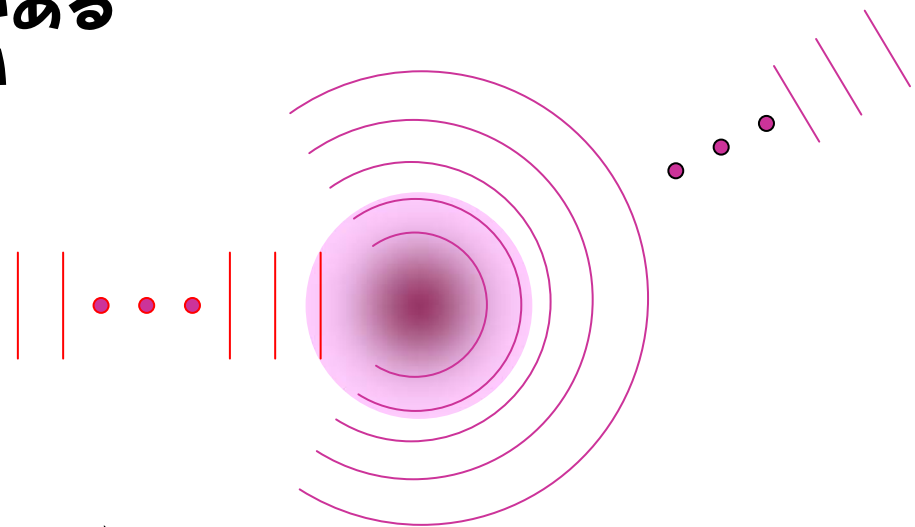
- すべての開いたチャンネルには、原点から外向きに広がる波がある
- 入射チャンネルだけに入射平面波がある
- 入射平面波以外に内向きの波はない
- 閉じたチャンネルの振幅は0である

これらの条件を満たす波動関数

$$\Psi_{\alpha}^{(+)} \rightarrow \varphi_{\alpha}(\vec{k}_{\alpha}, \vec{r}_{\alpha}) \phi_a \phi_A + \frac{1}{(2\pi)^{3/2}} \sum_{\beta} \frac{\exp(ik_{\beta} r_{\beta})}{r_{\beta}} f_{\beta\alpha}(\vec{k}_{\alpha}, \vec{k}_{\beta}) \phi_{\beta} + (> 2\text{body})$$

$$\phi_{\beta} = \phi_b \phi_B$$

$f_{\beta\alpha}(\vec{k}_{\alpha}, \vec{k}_{\beta})$: Scattering Amplitude



おさらい

2体の重心系 ($a+A=\alpha$ チャンネル) のハミルトニアン、固有関数

$$H = h_a(\xi_a) + h_A(\xi_A) + h_\alpha(\vec{r}_\alpha, \xi_a, \xi_A) = H_\alpha + V_\alpha$$

$$H\Psi = E\Psi ; h_\alpha(\vec{r}_\alpha, \xi_a, \xi_A) = T_\alpha(\vec{r}_\alpha) + V_\alpha(\vec{r}_\alpha, \xi_a, \xi_A)$$

$$h_\alpha(\vec{r}_\alpha, \xi_a, \xi_A) \rightarrow T_\alpha(\vec{r}_\alpha) = -\frac{\hbar^2}{2\mu_\alpha} \nabla_\alpha^2 \quad [\vec{r}_\alpha \rightarrow \infty]$$

$$h_a(\xi_a)\phi_a(\xi_a) = \varepsilon_a\phi_a(\xi_a) ; h_A(\xi_A)\phi_A(\xi_A) = \varepsilon_A\phi_A(\xi_A)$$

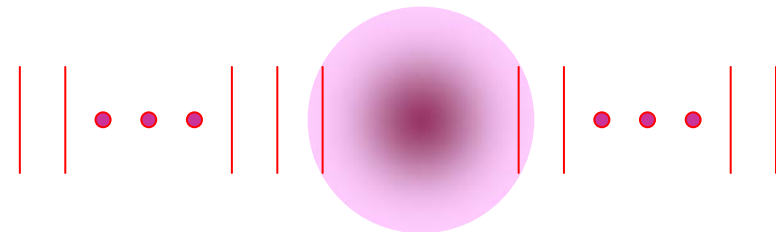
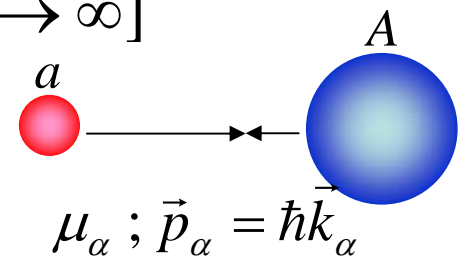
$$\Phi_\alpha = \phi_a(\xi_a)\phi_A(\xi_A)\varphi(\vec{k}_\alpha, \vec{r}_\alpha)$$

: an eigen function of H_{tot} at $[\vec{r}_\alpha \rightarrow \infty]$

$$\varphi(\vec{k}, \vec{r}) = \frac{1}{(2\pi)^{3/2}} \exp(i\vec{k} \cdot \vec{r})$$

: Incoming Plane wave

$$E_{tot} = \varepsilon_a + \varepsilon_A + \frac{\hbar^2 k_\alpha^2}{2\mu_\alpha}$$



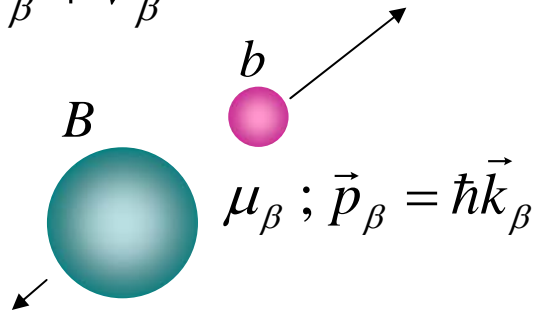
$(a+A) \rightarrow b+B$ 反応 : $b+B$ チャンネルのハミルトニアン

おさらい

$$H = h_a(\xi_a) + h_A(\xi_A) + h_\alpha(\vec{r}_\alpha, \xi_a, \xi_A)$$
$$= h_b(\xi_b) + h_B(\xi_B) + h_\beta(\vec{r}_\beta, \xi_b, \xi_B) = H_\beta + V_\beta$$

$$h_\beta(\vec{r}_\beta, \xi_b, \xi_B) = T_\beta(\vec{r}_\beta) + V_\beta(\vec{r}_\beta, \xi_b, \xi_B)$$

$$h_\beta(\vec{r}_\beta, \xi_b, \xi_B) \rightarrow T_\beta(\vec{r}_\beta) = -\frac{\hbar^2}{2\mu_\beta} \nabla_\beta^2 \quad [\vec{r}_\beta \rightarrow \infty]$$



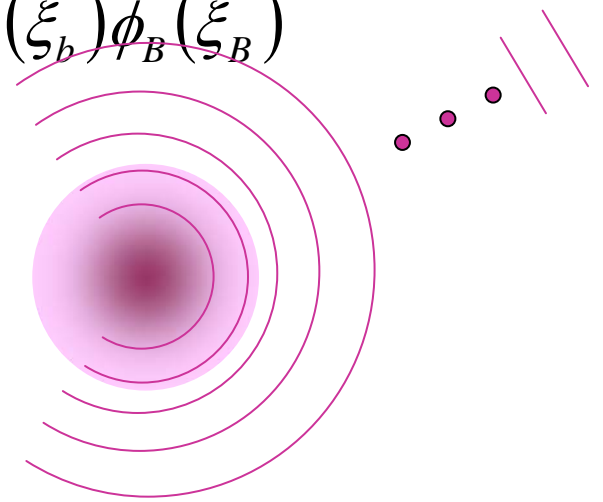
$$h_b(\xi_b)\phi_b(\xi_b) = \varepsilon_b\phi_b(\xi_b) ; h_B(\xi_B)\phi_B(\xi_B) = \varepsilon_B\phi_B(\xi_B)$$

$$\Phi_\beta = \varphi(\vec{k}_\beta, \vec{r}_\beta)\phi_b(\xi_b)\phi_B(\xi_B) \text{ and}$$

$$\Phi_\beta^{sc} = \frac{1}{(2\pi)^{3/2}} \frac{\exp(ik_\beta r_\beta)}{r_\beta} f_{\beta\alpha}(\vec{k}_\alpha, \vec{k}_\beta)\phi_b(\xi_b)\phi_B(\xi_B)$$

: eigen functions at $[\vec{r}_\beta \rightarrow \infty]$

$$E_{tot} = \varepsilon_a + \varepsilon_A + \frac{\hbar^2 k_\alpha^2}{2\mu_\alpha} = \varepsilon_b + \varepsilon_B + \frac{\hbar^2 k_\beta^2}{2\mu_\beta}$$



Lippmann-Schwinger Equation

境界条件を含んだ積分方程式

$$H\Psi_{\alpha}^{(+)}(E) = E\Psi_{\alpha}^{(+)}(E)$$

$$H = (h_a + h_A + T_{\alpha}) + V_{\alpha} = H_{\alpha} + V_{\alpha}$$

$$\Psi_{\alpha}^{(+)}(E) = \Phi_{\alpha}(E) + \frac{1}{E - H_{\alpha} + i\eta} V_{\alpha} \Psi_{\alpha}^{(+)}(E)$$

$$= \frac{i\eta}{E - H + i\eta} \Phi_{\alpha}(E)$$

外向き球面波をもつ解

$$\Psi_{\alpha}^{(-)}(E) = \Phi_{\alpha}(E) + \frac{1}{E - H_{\alpha} - i\eta} V_{\alpha} \Psi_{\alpha}^{(-)}(E)$$

内向き球面波をもつ解

$$S_{\beta\alpha} = \langle \Psi_{\beta}^{(-)}(E) | \Psi_{\alpha}^{(+)}(E) \rangle$$

散乱行列(S行列) :

平面波 Φ_{β} が見出される確率振幅

T 行列、微分断面積、散乱振幅

$$T_{\beta\alpha}(\vec{k}_\alpha, \vec{k}_\beta) = \left\langle \Phi_\beta(\vec{k}_\beta, \vec{r}_\beta, \xi_\beta) \left| V_\beta(\vec{r}_\beta, \xi_\beta) \right| \Psi_\alpha^{(+)}(\vec{k}_\alpha, \vec{r}_\alpha, \xi_\alpha, \dots) \right\rangle$$

: Post Form

$$= \left\langle \Psi_\beta^{(-)}(\vec{k}_\beta, \vec{r}_\beta, \xi_\beta, \dots) \left| V_\alpha(\vec{r}_\alpha, \xi_\alpha) \right| \Phi_\alpha(\vec{k}_\alpha, \vec{r}_\alpha, \xi_\alpha) \right\rangle$$

: Prior Form

平面波

$$\frac{d\sigma_{\beta\alpha}}{d\Omega_\beta} = \frac{v_\beta}{v_\alpha} \left| f_{\beta\alpha}(\vec{k}_\alpha, \vec{k}_\beta) \right|^2$$

$$f_{\beta\alpha}(\vec{k}_\alpha, \vec{k}_\beta) = -\frac{(2\pi)^2 \mu_\beta}{\hbar^2} T_{\beta\alpha}(\vec{k}_\alpha, \vec{k}_\beta)$$

T行列が計算できれば、微分断面積が計算できる

平面波ボルン近似 (PWBA)

$$\Psi_{\alpha}^{(+)}(\vec{k}_{\alpha}, \vec{r}_{\alpha}, \xi_{\alpha}, \dots) = \Phi_{\alpha}(\vec{k}_{\alpha}, \vec{r}_{\alpha}, \xi_{\alpha}) + \dots \quad \text{外向き球面波}$$

$$\Psi_{\beta}^{(-)}(\vec{k}_{\beta}, \vec{r}_{\beta}, \xi_{\beta}, \dots) = \Phi_{\beta}(\vec{k}_{\beta}, \vec{r}_{\beta}, \xi_{\beta}) + \dots \quad \text{内向き球面波}$$

$$T_{\beta\alpha}(\vec{k}_{\alpha}, \vec{k}_{\beta}) \approx \left\langle \Phi_{\beta}(\vec{k}_{\beta}, \vec{r}_{\beta}, \xi_{\beta}) \left| V_{\beta}(\vec{r}_{\beta}, \xi_{\beta}) \right| \Phi_{\alpha}(\vec{k}_{\alpha}, \vec{r}_{\alpha}, \xi_{\alpha}) \right\rangle$$

: Post Form

$$\approx \left\langle \Phi_{\beta}(\vec{k}_{\beta}, \vec{r}_{\beta}, \xi_{\beta}) \left| V_{\alpha}(\vec{r}_{\alpha}, \xi_{\alpha}) \right| \Phi_{\alpha}(\vec{k}_{\alpha}, \vec{r}_{\alpha}, \xi_{\alpha}) \right\rangle$$

: Prior Form

平面波ボルン近似 (PWBA)

弾性散乱

$$T_{\alpha\alpha}(\vec{k}, \vec{k}') \approx \frac{V_0 R^3}{2\pi^2} \exp(-(qa)^2) \left[\frac{j_1(qR)}{qR} + 2 \left(\frac{a}{R} \right)^2 j_0(qR) \right]$$

非弾性散乱

$$T_{\alpha'\alpha}^l(\vec{k}, \vec{k}') \approx \frac{1}{2\pi^2} \int r^2 dr j_l(qr) V_T(r) Y_{l0}(\hat{q}) \approx \frac{V_0 \beta_l R^3}{2\pi^2} j_l(qR) Y_{l0}(\hat{q}) \quad [a \rightarrow 0]$$

$$T_{\alpha'\alpha}^{l=2}(\vec{k}, \vec{k}') \approx \frac{V_0 \beta_2 R^3}{2\pi^2} Y_{l0}(\hat{q}) \exp(-(qa)^2) \times$$

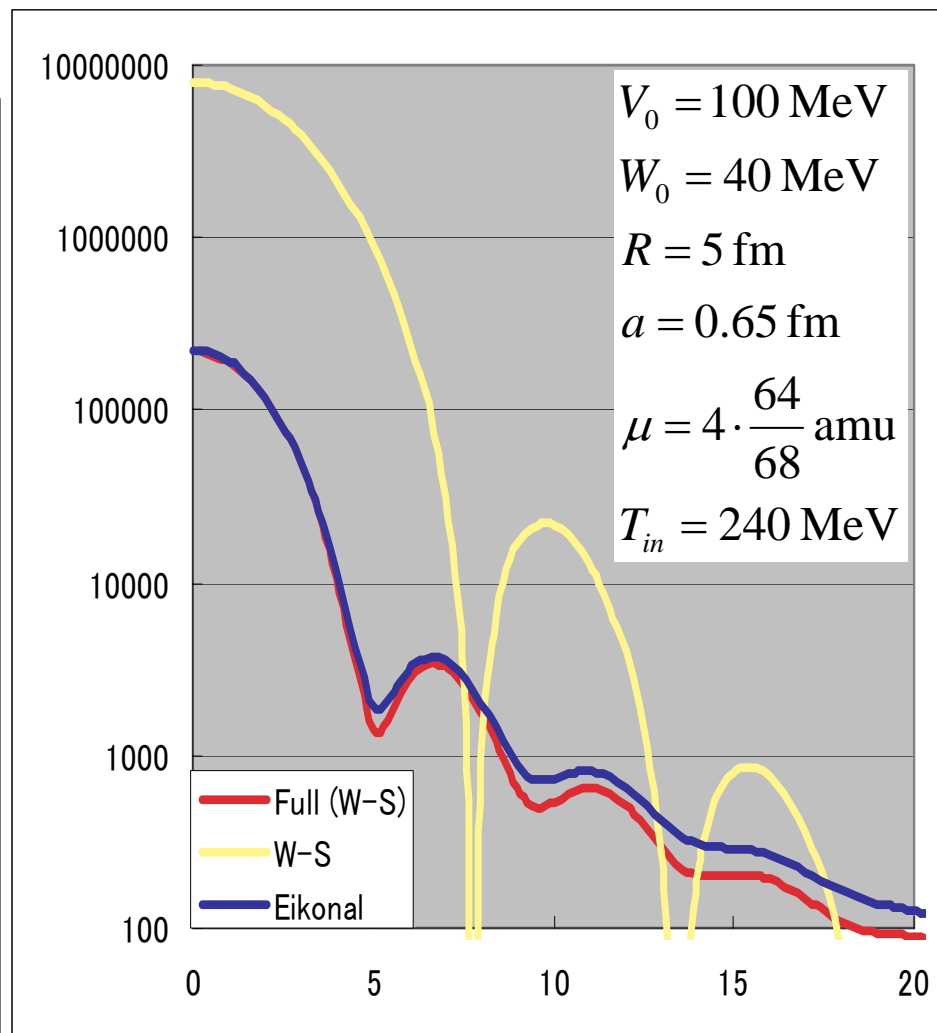
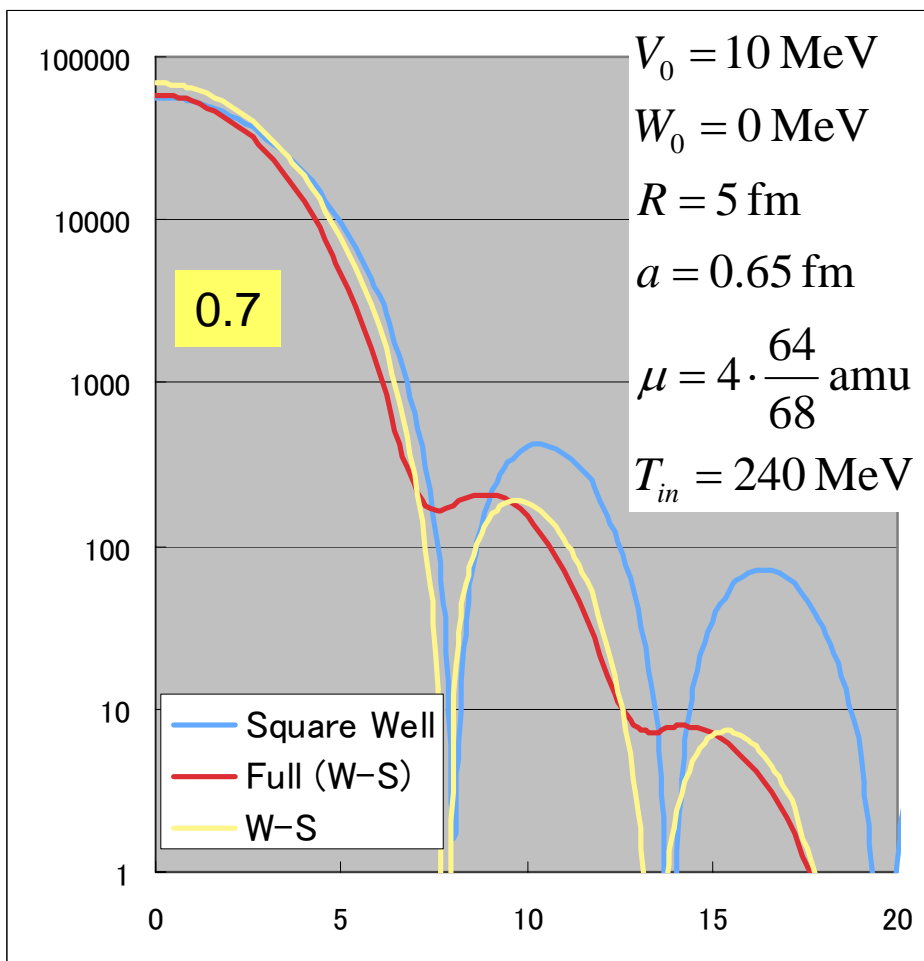
$$\left[j_2(qR) + 4 \left(\frac{a}{R} \right)^2 qR j_1(qR) + 4 \left(\frac{a}{R} \right)^4 (qR)^2 j_0(qR) \right]$$

$$V_T(r) = -\beta_l \frac{r^{l-1}}{R^{l-2}} \frac{dV(r)}{dr} \quad : \text{Tassie Form}$$

$$V(r) = \int_r^\infty dt \frac{V_0}{\sqrt{2\pi}(2a^2)} \exp\left[-\frac{(t-R)^2}{4a^2}\right] \approx \frac{V_0}{1 + \exp[(r-R)/a]}$$

弾性散乱の平面波ボルン近似

$$V(r) = -\frac{V_0 + iW_0}{1 + \exp[(r - R)/a]}$$



Distortion, Eikonal, DWBA

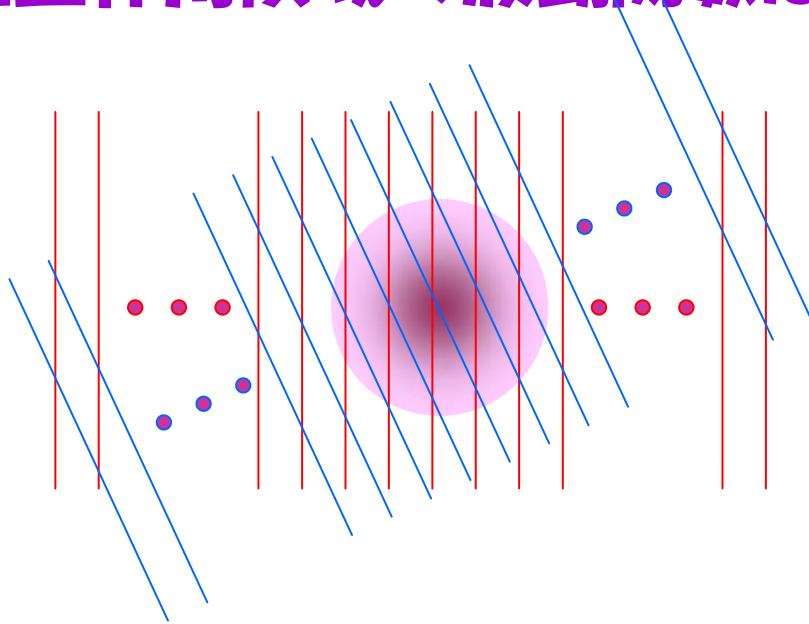
Born近似のCriterion:

$$-\frac{\mu}{\hbar^2 k} \int_0^{\infty} (e^{2ikr} - 1) V(r) dr \approx \frac{\mu V_0}{\hbar^2} \frac{R}{k} = \frac{V_0 R}{\hbar v_{rel}} \ll 1$$

$$\hbar v_{rel} \sim 60 - 200 \text{ MeV fm}; \quad V_0 R \sim 40 \times A_{proj} \times 3 \text{ MeV fm}$$

ほとんどみだされない!

相互作用領域の波動関数は平面波とかなり違う



**PWBAは、吸収の効果
(別のチャンネルへのflux)
をとりこめない**

$$mfp = \frac{\hbar}{\sqrt{2\mu W}} \text{ fm}$$
$$\sim \frac{1.4}{A_p} \text{ fm (for } W \sim 20 A_p \text{ MeV)}$$

$\Psi_{\alpha}^{(+)}(\vec{k}_{\alpha}, \vec{r}_{\alpha}, \xi_{\alpha}, \dots)$, $\Psi_{\beta}^{(-)}(\vec{k}_{\beta}, \vec{r}_{\beta}, \xi_{\beta}, \dots)$ のよりよい近似は?

弾性・非弾性散乱

相対座標、内部座標、相互作用演算子が共通

$$T_{\alpha'\alpha}(\vec{k}_\alpha, \vec{k}_{\alpha'}) = \left\langle \Phi_{\alpha'}(\vec{k}_{\alpha'}, \vec{r}, \xi) \left| V(\vec{r}, \xi) \right| \Psi_\alpha^{(+)}(\vec{k}_\alpha, \vec{r}, \xi, \dots) \right\rangle$$

: Post Form : Fourier component of $V \Psi_\alpha^{(+)}$

$$= \left\langle \Psi_{\alpha'}^{(-)}(\vec{k}_{\alpha'}, \vec{r}, \xi, \dots) \left| V(\vec{r}, \xi) \right| \Phi_\alpha(\vec{k}_\alpha, \vec{r}_\alpha, \xi_\alpha) \right\rangle$$

: Prior Form : Fourier component of $V \Psi_{\alpha'}^{(-)}$

$$\frac{d\sigma_{\alpha'\alpha}}{d\Omega_\alpha} = \frac{v_{\alpha'}}{v_\alpha} \left| f_{\alpha'\alpha}(\vec{k}_\alpha, \vec{k}_{\alpha'}) \right|^2$$

$$f_{\alpha'\alpha}(\vec{k}_\alpha, \vec{k}_{\alpha'}) = -\frac{(2\pi)^2 \mu}{\hbar^2} T_{\alpha'\alpha}(\vec{k}_\alpha, \vec{k}_{\alpha'})$$

T行列は、 $V\Psi$ の Fourier 成分で表現される

弾性・非弾性散乱の Eikonal 近似 (Glauber 模型)

$$H = (h(\xi) + T(\vec{r})) + V(\vec{r}, \xi)$$

$$h(\xi)\phi_\alpha(\xi) = \varepsilon_\alpha\phi_\alpha(\xi); h(\xi)\phi_{\alpha'}(\xi) = \varepsilon_{\alpha'}\phi_{\alpha'}(\xi) \quad \text{内部波動関数}$$

$$T(\vec{r})\varphi_\alpha(\vec{k}_\alpha, \vec{r}) = \frac{\hbar^2 k_\alpha^2}{2\mu}\varphi_\alpha(\vec{k}_\alpha, \vec{r}); T(\vec{r})\varphi_{\alpha'}(\vec{k}_{\alpha'}, \vec{r}) = \frac{\hbar^2 k_{\alpha'}^2}{2\mu}\varphi_{\alpha'}(\vec{k}_{\alpha'}, \vec{r}) \quad \text{平面波}$$

$$\frac{\hbar^2 k_\alpha^2}{2\mu} \approx \frac{\hbar^2 k_{\alpha'}^2}{2\mu} \gg \varepsilon_{\alpha'} - \varepsilon_\alpha : \text{adiabatic approx.}; |V| \ll \frac{\hbar^2 k_\alpha^2}{2\mu}$$

$$\vec{q} = \vec{k}_\alpha - \vec{k}_{\alpha'}; \vec{q} \cdot \vec{r} \approx \vec{q} \cdot \vec{b}$$

$$\Psi_\alpha^{(+)} = \varphi_\alpha(\vec{k}_\alpha, \vec{r}) \cdot f(\vec{r}, \xi) \Rightarrow -i \frac{\hbar^2}{\mu} k_\alpha \frac{\partial f}{\partial z} + Vf = 0$$

$$\Psi_\alpha^{(+)} \approx \phi_\alpha(\xi)\varphi_\alpha(\vec{k}_\alpha, \vec{r}) \exp\left[-\frac{i}{\hbar v_\alpha} \int_{-\infty}^z dz' V(\vec{b}, z', \xi)\right] \quad (*)$$

$$V \Psi_\alpha^{(+)} \approx i\hbar v_\alpha e^{i\vec{k}_\alpha \cdot \vec{r}} \frac{\partial}{\partial z} \left\{ \exp\left[-\frac{i}{\hbar v_\alpha} \int_{-\infty}^z dz' V(\vec{b}, z', \xi)\right] \right\}$$

弾性・非弾性散乱の Eikonal 近似 (Glauber 模型)

$$T_{\alpha'\alpha} = \frac{\hbar v_\alpha}{i(2\pi)^3} \int d^2b \exp(i\vec{q} \cdot \vec{b}) \langle \phi_{\alpha'}(\xi) | 1 - \Gamma(\vec{b}, \xi) | \phi_\alpha(\xi) \rangle_\xi$$

$$\Gamma(\vec{b}, \xi) = \exp[i\chi(\vec{b}, \xi)] : \text{Profile function}$$

$$\chi(\vec{b}, \xi) = \frac{-1}{\hbar v_\alpha} \int_{-\infty}^{\infty} dz V(\vec{b}, z, \xi) : \text{Phase shift function}$$

- 相互作用の無限次のべきを含んでいる
- 核子-核子散乱の積み重ねでも記述が可能
- 分解反応へも応用される

軸対称相互作用なら

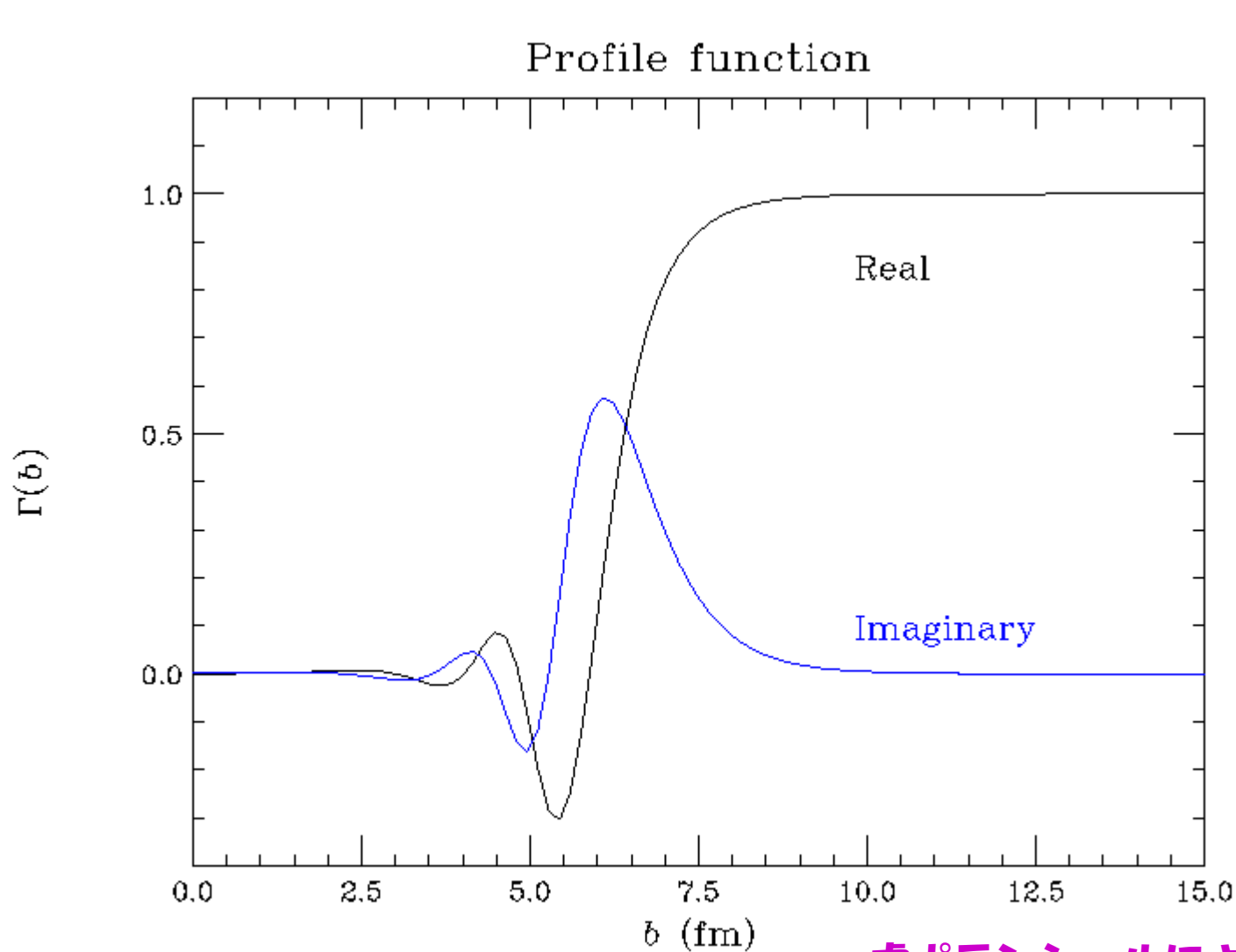
$$T_{\alpha'\alpha} = \frac{\hbar v_\alpha}{i(2\pi)^2} \int_0^\infty b db J_0(qb) \langle \phi_{\alpha'}(\xi) | 1 - \Gamma(b, \xi) | \phi_\alpha(\xi) \rangle_\xi$$

Elastic :

$$f_{\alpha\alpha}(\theta) = ik_\alpha \int_0^\infty b db J_0(qb) [1 - \Gamma(b)] \rightarrow \frac{iR}{\theta} J_1(k_\alpha R \theta) : \text{Black Disk}$$

Profile function の2次元フーリエ変換 (普通のベッセル関数)

弾性散乱の Eikonal 近似 (例) (Profile function)



$$V_0 = 100 \text{ MeV}$$

$$W_0 = 40 \text{ MeV}$$

$$R = 5 \text{ fm}$$

$$a = 0.65 \text{ fm}$$

$$\mu = 4 \cdot \frac{64}{68} \text{ amu}$$

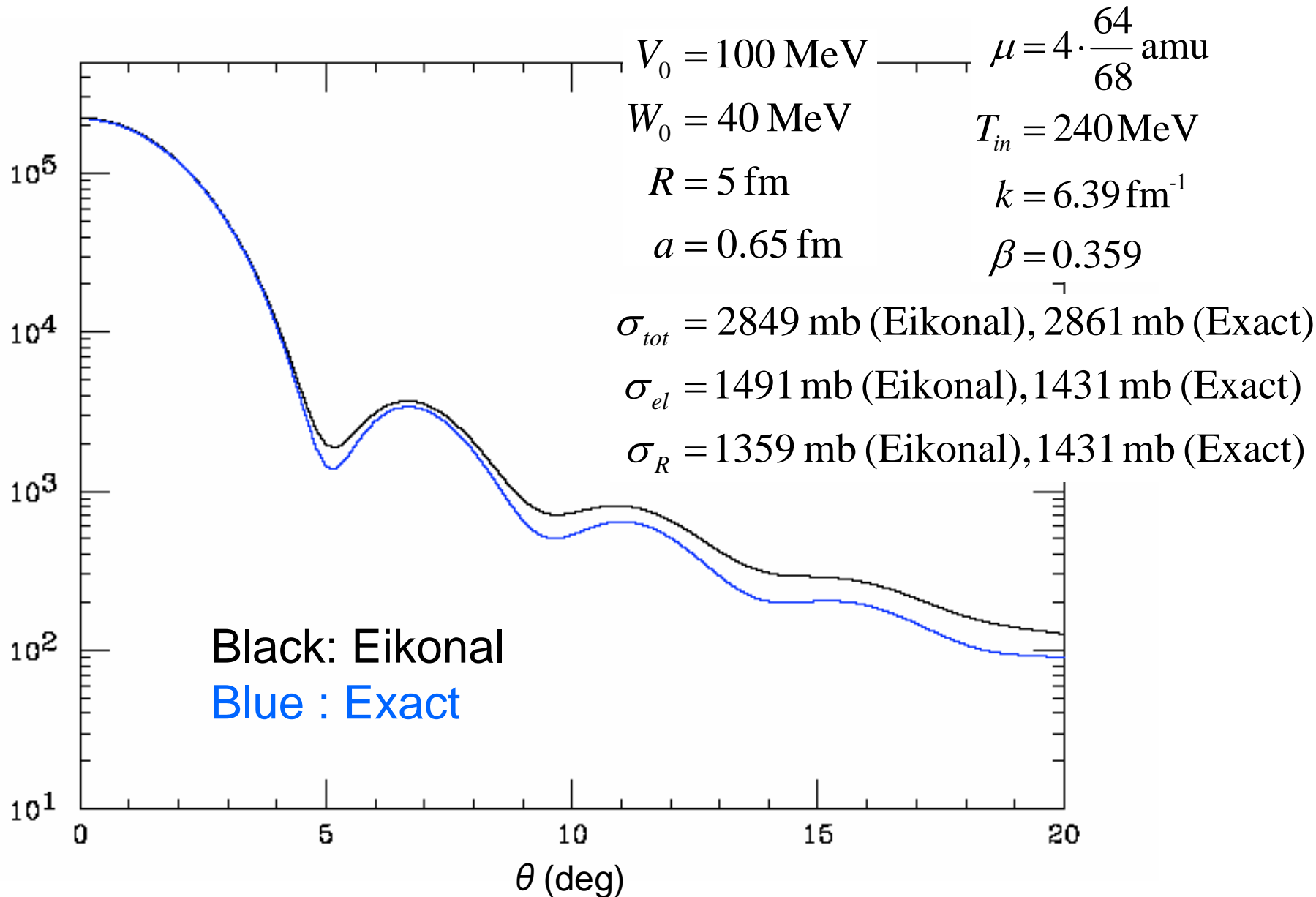
$$T_{in} = 240 \text{ MeV}$$

$$k = 6.39 \text{ fm}^{-1}$$

$$\beta = 0.359$$

虚ポテンシャルによる吸収効果
実ポテンシャルによる位相の変化

弾性散乱の Eikonal 近似 (例) (Glauber 模型)



弾性散乱が光学ポテンシャルで記述できるなら

$\Psi_{\alpha}^{(+)}(\vec{k}_{\alpha}, \vec{r}_{\alpha}, \xi_{\alpha}, \dots)$, $\Psi_{\beta}^{(-)}(\vec{k}_{\beta}, \vec{r}_{\beta}, \xi_{\beta}, \dots)$ の近似として

- 弾性散乱チャンネルの波動関数、散乱振幅はポテンシャル問題を解けばよい。
- $a+A \rightarrow b+B$ 反応を記述する Ψ の主要成分が弾性散乱だとすると、 Ψ の近似として、ポテンシャル問題の解を用いればよさそう。
- Ψ を、(平面波 + 球面波)ではなく、(弾性散乱による散乱波) + (球面波)と書き直す。(弾性散乱による散乱波)を、**歪曲波**と呼ぶ。
- DWBAの計算コードなどでは、歪曲波を多重極展開して求めるが、エネルギーの高い反応では、部分波の角運動量が大きくなり、見通しがよくない。 $kb \sim (l+1/2)$
- 以後、Eikonal近似で得られた波動関数を用いた記述を試みる。角運動量表示による厳密なものは教科書(Satchler, 河合・吉田など)を参照のこと

歪曲波 (Eikonal 近似)

$$V(r) = -\frac{V_0 + iW_0}{1 + \exp[(r - R)/a]}$$

$$V_0 = 100 \text{ MeV} \quad \mu = 4 \cdot \frac{64}{68} \text{ amu}$$

$$W_0 = 40 \text{ MeV}$$

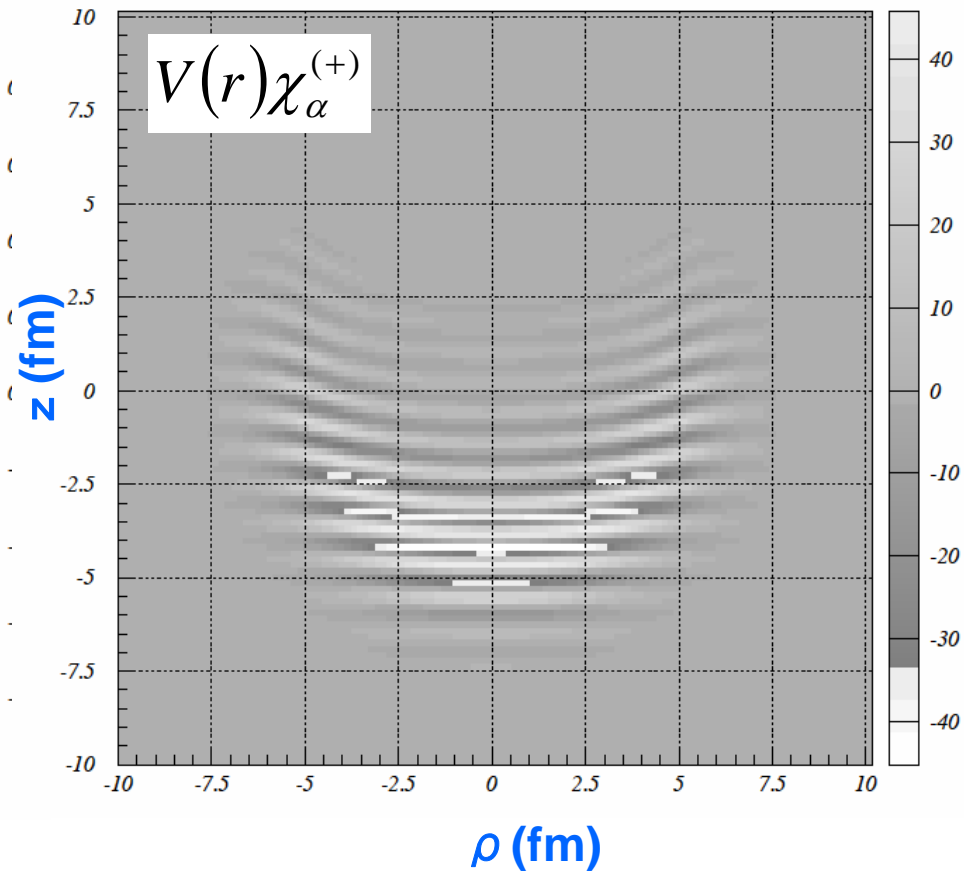
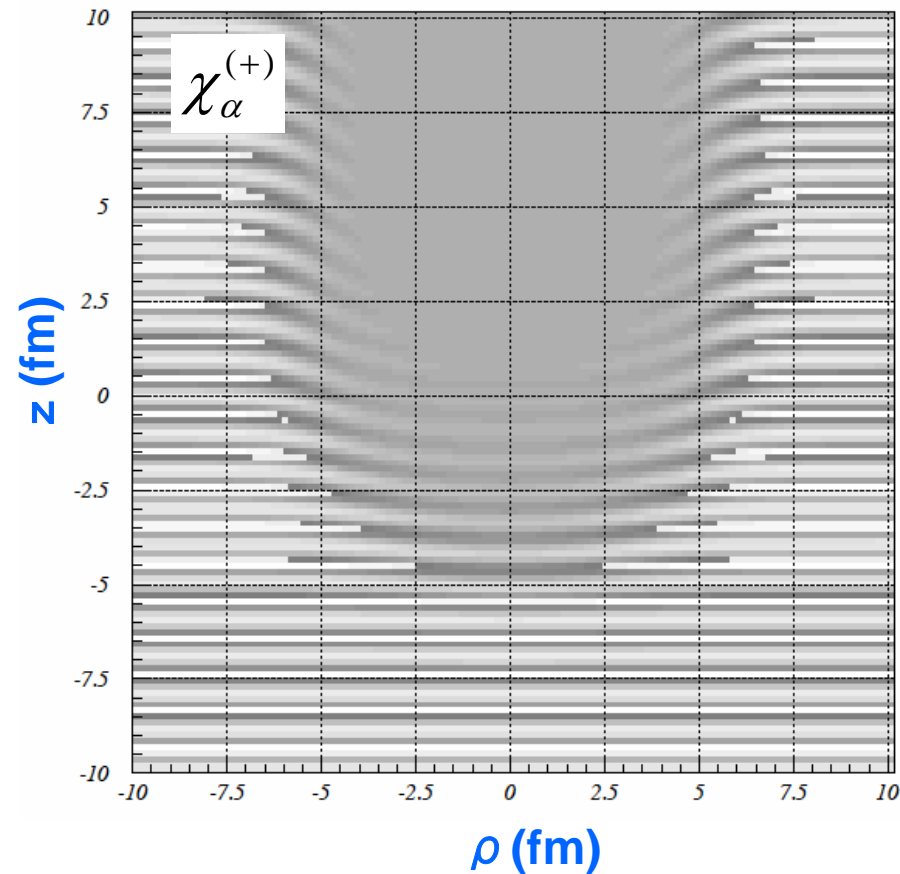
$$T_{in} = 240 \text{ MeV}$$

$$R = 5 \text{ fm}$$

$$k = 6.39 \text{ MeV}/c$$

$$a = 0.65 \text{ fm}$$

$$\beta = 0.359$$



歪曲波を用いた表式

相互作用の繰り込み (光学ポテンシャル)

$$H\Psi_{\alpha}^{(+)} = E\Psi_{\alpha}^{(+)}$$

$$H = (h_a + h_A + T_{\alpha}) + V_{\alpha} = H_{\alpha} + V_{\alpha} = H_{\alpha} + U_{\alpha} + \hat{V}_{\alpha}$$

$$\chi_{\alpha}^{(+)}(\vec{r}) = \varphi(\vec{k}_{\alpha}, \vec{r}_{\alpha}) + \frac{1}{E - (T_{\alpha} + U_{\alpha}) + i\eta} U_{\alpha} \chi_{\alpha}^{(+)}(\vec{r}) \quad \text{外向き歪曲波}$$

$$\chi_{\alpha}^{(-)}(\vec{r}) = \varphi(\vec{k}_{\alpha}, \vec{r}_{\alpha}) + \frac{1}{E - (T_{\alpha} + U_{\alpha}) - i\eta} U_{\alpha} \chi_{\alpha}^{(-)}(\vec{r}) \quad \text{内向き歪曲波}$$

$$T_{\beta\alpha}(\vec{k}_{\alpha}, \vec{k}_{\beta}) = \left\langle \chi_{\beta}^{(-)}(\vec{k}_{\beta}, \vec{r}_{\beta}) \phi(\xi_{\beta}) \left| \hat{V}_{\beta}(\vec{r}_{\beta}, \xi_{\beta}) \right| \Psi_{\alpha}^{(+)}(\vec{k}_{\alpha}, \vec{r}_{\alpha}, \xi_{\alpha}, \dots) \right\rangle$$

: Post Form

$$= \left\langle \Psi_{\beta}^{(-)}(\vec{k}_{\beta}, \vec{r}_{\beta}, \xi_{\beta}, \dots) \left| \hat{V}_{\alpha}(\vec{r}_{\alpha}, \xi_{\alpha}) \right| \chi_{\alpha}^{(+)}(\vec{k}_{\alpha}, \vec{r}_{\alpha}) \phi(\xi_{\alpha}) \right\rangle$$

: Prior Form

正確な表式

歪曲波ボルン近似 (DWBA)

$$\Psi_{\alpha}^{(+)}(\vec{k}_{\alpha}, \vec{r}_{\alpha}, \xi_{\alpha}, \dots) = \chi_{\alpha}^{(+)}(\vec{k}_{\alpha}, \vec{r}_{\alpha}) \phi_{\alpha}(\xi_{\alpha}) + \dots$$

$$\Psi_{\beta}^{(-)}(\vec{k}_{\beta}, \vec{r}_{\beta}, \xi_{\beta}, \dots) = \chi_{\beta}^{(-)}(\vec{k}_{\beta}, \vec{r}_{\beta}) \phi_{\beta}(\xi_{\beta}) + \dots$$

$$T_{\beta\alpha}(\vec{k}_{\alpha}, \vec{k}_{\beta}) \approx \left\langle \chi_{\beta}^{(-)}(\vec{k}_{\beta}, \vec{r}_{\beta}) \phi_{\beta}(\xi_{\beta}) \left| \hat{V}_{\beta}(\vec{r}_{\beta}, \xi_{\beta}) \right| \chi_{\alpha}^{(+)}(\vec{k}_{\alpha}, \vec{r}_{\alpha}) \phi_{\alpha}(\xi_{\alpha}) \right\rangle$$

: Post Form

$$= \left\langle \chi_{\beta}^{(-)}(\vec{k}_{\beta}, \vec{r}_{\beta}) \phi_{\beta}(\xi_{\beta}) \left| \hat{V}_{\alpha}(\vec{r}_{\alpha}, \xi_{\alpha}) \right| \chi_{\alpha}^{(+)}(\vec{k}_{\alpha}, \vec{r}_{\alpha}) \phi_{\alpha}(\xi_{\alpha}) \right\rangle$$

: Prior Form

$$\equiv \left\langle \chi_{\beta}^{(-)}(\vec{k}_{\beta}, \vec{r}_{\beta}) \left| F_{\beta\alpha}^{(\gamma)}(\vec{r}_{\alpha}, \vec{r}_{\beta}) \right| \chi_{\alpha}^{(+)}(\vec{k}_{\alpha}, \vec{r}_{\alpha}) \right\rangle \quad (\gamma = \alpha \text{ or } \beta)$$

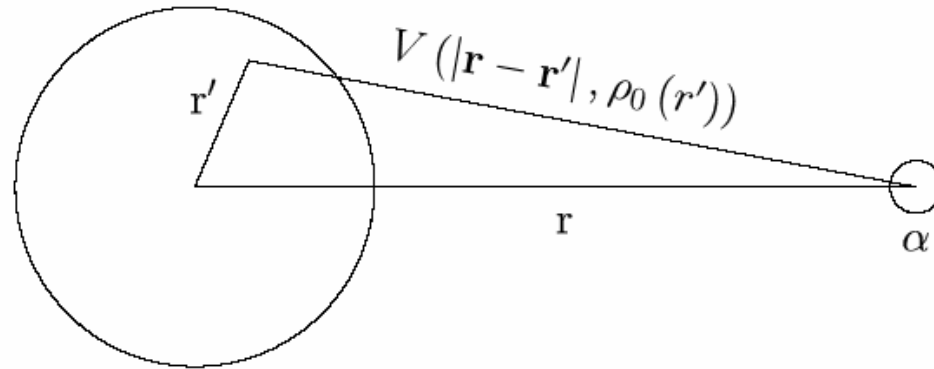
$$F_{\beta\alpha}^{(\gamma)}(\vec{r}_{\alpha}, \vec{r}_{\beta}) = \left\langle \phi_{\beta}(\xi_{\beta}) \left| \hat{V}_{\gamma}(\vec{r}_{\alpha}, \vec{r}_{\beta}, \xi_{\alpha\beta}) \right| \phi_{\alpha}(\xi_{\alpha}) \right\rangle_{\xi_{\alpha\beta}} \quad \text{: Form Factor}$$

歪曲波と形状因子を計算すればよい

歪曲波をつくる光学ポテンシャル

現象論的ポテンシャル (B-G, CH89, etc.)

Folding 模型 (JLM, etc.)



$$U(r) = \int d\mathbf{r}' V(|\mathbf{r} - \mathbf{r}'|, \rho_0(r')) \rho_0(r'),$$

$$V(|\mathbf{r} - \mathbf{r}'|, \rho_0(r')) = -V \left(1 + \beta_V \rho_0(r')^{2/3}\right) \exp\left(-|r - r'|^2 / \alpha_V\right) \\ -iW \left(1 + \beta_W \rho_0(r')^{2/3}\right) \exp\left(-|r - r'|^2 / \alpha_W\right),$$

Alpha particle at 140-400 MeV: $U \sim 130 - 60$ MeV, $W \sim 25 - 40$ MeV

Proton at 50-200 MeV: $U \sim 50 - \text{a few}$ MeV, $W \sim 10 - 20$ MeV (see JLM)

非弾性散乱の形状因子

相対座標、内部座標、相互作用演算子が共通

$$T_{\alpha'\alpha}(\vec{k}_\alpha, \vec{k}_{\alpha'}) = \langle \chi_{\alpha'}^{(-)}(\vec{k}_{\alpha'}, \vec{r}) | F_{\alpha'\alpha}^{(\gamma)}(\vec{r}) | \chi_\alpha^{(+)}(\vec{k}_\alpha, \vec{r}) \rangle$$

$$F_{\alpha'\alpha}^{(\gamma)}(\vec{r}) = \langle \phi_{\alpha'}(\xi) | \hat{V}_\gamma(\vec{r}, \xi) | \phi_\alpha(\xi) \rangle_\xi$$

巨視的模型

$$U_\alpha(\vec{r}, R) \approx U_{\alpha'}(\vec{r}, R)$$

$$\hat{V}_\gamma(\vec{r}, \xi) = U_\alpha(\vec{r}, R) - U_\alpha(\vec{r}, R_0)$$

$$R = R(\Omega) = R_0 \left(1 + \sum_{lm} \alpha_{lm} Y_{lm}^*(\Omega) \right)$$

非弾性散乱（振動模型の形状因子）

表面振動

$$\begin{aligned}\hat{V}_\gamma(\vec{r}, \xi) &= R_0 \left. \frac{dU(r, R)}{dR} \right|_{R=R_0} \sum_{\ell m} \alpha_{\ell m} Y_{\ell m}^*(\Omega) \\ &= -R_0 \frac{dU(r, R_0)}{dr} \sum_{\ell m} \alpha_{\ell m} Y_{\ell m}^*(\Omega) \\ \alpha_{\ell m} &= \frac{1}{\sqrt{2\ell+1}} \beta_\ell \left\{ a_{\ell m}^+ + (-)^m a_{\ell, -m} \right\}\end{aligned}$$

17オ / ン励起の形状因子

$$\begin{aligned}F_{\alpha'\alpha}(\vec{r}) &= (I_A M_A \ell m | I_{A^*} M_{A^*}) \frac{\beta_\ell R_0}{\sqrt{2\ell+1}} \left. \frac{dU(r, R)}{dR} \right|_{R=R_0} Y_{\ell m}^*(\Omega) \\ F_{\alpha'\alpha}^{Tas}(\vec{r}) &= (I_A M_A \ell m | I_{A^*} M_{A^*}) \frac{\beta_\ell R_0}{\sqrt{2\ell+1}} \left(\frac{r}{R_0} \right)^{\ell-1} \left. \frac{dU(r, R)}{dR} \right|_{R=R_0} Y_{\ell m}^*(\Omega)\end{aligned}$$

T行列は、 βR に比例する：断面積の大きさ $\Leftrightarrow (\beta R)^2$

非弾性散乱（回転模型の形状因子）

軸対称変形

$$R = R(\Omega') = R_0 \left(1 + \sum_{\lambda} \alpha_{\lambda 0} Y_{\lambda 0}^*(\Omega') \right)$$

$$U(\vec{r}, R) = \sum_{\ell} \hat{V}_{\ell}(r, \{\alpha_{\lambda 0}\}) Y_{\ell 0}^*(\Omega')$$

W-S 形状因子のメモ
(前回配布) を参照

$$\hat{V}_{\ell}(r, \{\alpha_{\lambda 0}\}) = \frac{1}{4\pi} \int d\Omega' U(\vec{r}, R) Y_{\ell 0}(\Omega')$$

偶遇核回転励起 (0 → I) の形状因子

$$F_{\alpha'\alpha}(\vec{r}) = \sqrt{\frac{8\pi^2}{2I+1}} \hat{V}_I(r, \{\alpha_{\lambda 0}\}) Y_{Im}^*(\Omega)$$

奇核などK量子数をもつ場合

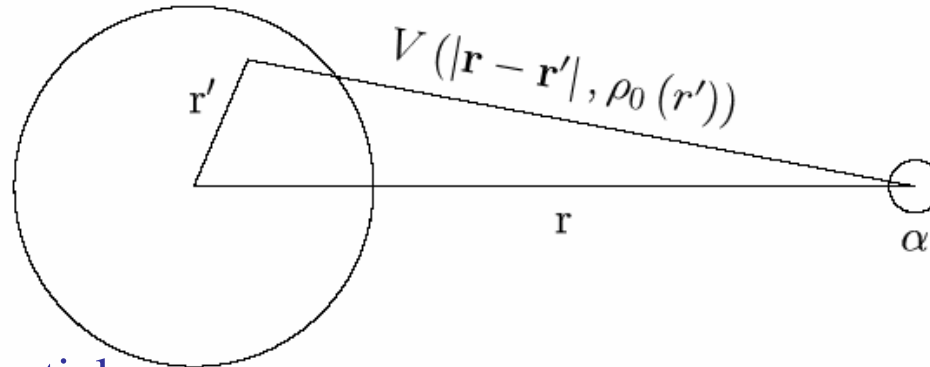
$$F_{\alpha'\alpha}(\vec{r}) = (K K \ell 0 | I' K) \sqrt{\frac{8\pi^2}{2\ell+1}} \hat{V}_{\ell}(r, \{\alpha_{\lambda 0}\}) Y_{\ell m}^*(\Omega)$$

非弾性散乱（微視的アプローチ）

遷移密度からスタート

$$\begin{aligned} M_{a \rightarrow b} &= \langle \Psi_b(\vec{r}_1, \vec{r}_2, \dots, \vec{r}_A) | F | \Psi_a(\vec{r}_1, \vec{r}_2, \dots, \vec{r}_A) \rangle \\ &= \sum_i \langle \Psi_b(\vec{r}_1, \vec{r}_2, \dots, \vec{r}_A) | f(\vec{r}_i) | \Psi_a(\vec{r}_1, \vec{r}_2, \dots, \vec{r}_A) \rangle \\ &= \sum_i \int d^3 r f(\vec{r}) \langle \Psi_b | \delta^3(\vec{r} - \vec{r}_i) | \Psi_a \rangle \\ &= \int d^3 r f(\vec{r}) \sum_i \int \prod_j d^3 r_j \delta^3(\vec{r} - \vec{r}_i) \Psi_b^+ \Psi_a \\ &= \int d^3 r f(\vec{r}) \rho_{tr}(\vec{r}) \\ \rho_{tr}(\vec{r}) &= \sum_i \int \prod_j d^3 r_j \delta^3(\vec{r} - \vec{r}_i) \Psi_b^+ \Psi_a \end{aligned}$$

非弾性散乱 (微視的アブローチ)



Transition Potential
=形状因子 F

Transition Density

$$\delta U(r, E) = \int d\mathbf{r}' \delta \rho_L(\mathbf{r}', E) \left[V(|\mathbf{r} - \mathbf{r}'|, \rho_0(r')) + \rho_0(r') \frac{\partial V(|\mathbf{r} - \mathbf{r}'|, \rho_0(r'))}{\partial \rho_0(r')} \right],$$

Transition density に対する Collective model

$$\delta \rho_{L=0}(r, E) = -\alpha_0(E) \left(3 + r \frac{d}{dr} \right) \rho_0(r),$$

Compression mode

$$\delta \rho_{L=1}(r, E) = -\frac{\alpha_1(E)}{R} \left[3r^2 \frac{d}{dr} + 10r - \frac{5}{3} \langle r^2 \rangle \frac{d}{dr} + \epsilon \left(r \frac{d^2}{dr^2} + 4 \frac{d}{dr} \right) \right] \rho_0(r),$$

$$\delta \rho_{L \geq 2}(r, E) = -\alpha_l(E) r^{l-1} \frac{d}{dr} \rho_0(r), \quad \text{Tassie model}$$

非弾性散乱（運動量表示）

$$\begin{aligned} T_{\alpha'\alpha}(\vec{k}_\alpha, \vec{k}_{\alpha'}) &= \left\langle \chi_{\alpha'}^{(-)}(\vec{k}_{\alpha'}, \vec{r}) \left| F_{\alpha'\alpha}^{(\gamma)}(\vec{r}) \right| \chi_{\alpha}^{(+)}(\vec{k}_\alpha, \vec{r}) \right\rangle \\ &= \int d^3q D(\vec{q}) \tilde{\rho}_{tr}(\vec{q}) \tilde{V}_{aN}(\vec{q}) \end{aligned}$$

相互作用に密度依存がない Folding 模型のフーリエ変換

$$F_{\alpha'\alpha}(\vec{r}) = \int d^3r' \rho_{tr}(\vec{r}') V_{aN}(|\vec{r} - \vec{r}'|)$$

$$\tilde{F}_{\alpha'\alpha}(\vec{q}) = \tilde{\rho}_{tr}(\vec{q}) \tilde{V}_{aN}(\vec{q}) \quad \rightarrow + \rho \text{ 近似}$$

歪曲波のフーリエ変換

$$\begin{aligned} D(\vec{q}) &= \int d^3r e^{-i\vec{q}\cdot\vec{r}} \chi_{\alpha'}^{(-)*}(\vec{k}_{\alpha'}, \vec{r}) \chi_{\alpha}^{(+)}(\vec{k}_\alpha, \vec{r}) \\ &\rightarrow \delta^3(\vec{k}_\alpha - \vec{k}_{\alpha'} - \vec{q}) \quad : \text{Plane wave limit} \end{aligned}$$

非弾性散乱（歪曲波の効果）

Eikonal 近似による歪曲波で $D(q)$ を評価してみよう

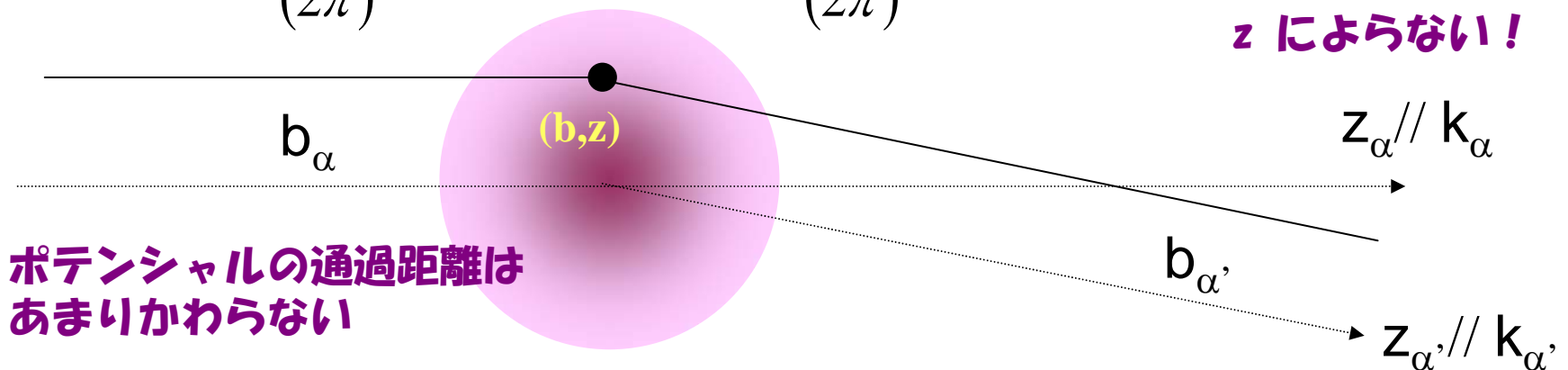
$$\chi_{\alpha}^{(+)}(\vec{k}_{\alpha}, \vec{r}) = \varphi_{\alpha}(\vec{k}_{\alpha}, \vec{r}) \exp\left[-\frac{i}{\hbar v_{\alpha}} \int_{-\infty}^{z_{\alpha}} dz_{\alpha}' U(\vec{b}_{\alpha}, z_{\alpha}')\right]$$

$$\chi_{\alpha'}^{(-)}(\vec{k}_{\alpha'}, \vec{r}) = \varphi_{\alpha'}(\vec{k}_{\alpha'}, \vec{r}) \exp\left[\frac{i}{\hbar v_{\alpha'}} \int_{-\infty}^{z_{\alpha}'} dz_{\alpha}' U(\vec{b}_{\alpha'}, z_{\alpha}')\right]$$

if $v_{\alpha} \approx v_{\alpha'}$ & forward scattering

$$\begin{aligned} \chi_{\alpha'}^{(-)} * (\vec{k}_{\alpha'}, \vec{r}) \chi_{\alpha}^{(+)}(\vec{k}_{\alpha}, \vec{r}) &\approx \frac{\exp[i(\vec{k}_{\alpha} - \vec{k}_{\alpha'}) \cdot \vec{r}]}{(2\pi)^3} \exp\left[-\frac{i}{\hbar v_{\alpha}} \int_{-\infty}^{\infty} dz_{\alpha}' U(\vec{b}_{\alpha}, z_{\alpha}')\right] \\ &= \frac{\exp[i(\vec{k}_{\alpha} - \vec{k}_{\alpha'}) \cdot \vec{r}]}{(2\pi)^3} \Gamma(b_{\alpha}) = \frac{\exp[i(\vec{k}_{\alpha} - \vec{k}_{\alpha'}) \cdot \vec{r}]}{(2\pi)^3} [1 - (1 - \Gamma(b_{\alpha}))] \end{aligned}$$

z によらない!



ポテンシャルの通過距離は
あまりかわらない

非弾性散乱（歪曲波の効果）

Eikonal 近似による歪曲波で $D(q)$ を評価してみよう

$$\begin{aligned} D(\vec{q}) &\approx \delta^3(\vec{k}_\alpha - \vec{k}_{\alpha'} - \vec{q}) \\ &\quad - \frac{\delta\left(\left(\vec{k}_\alpha - \vec{k}_{\alpha'} - \vec{q}\right)_{\parallel}\right)}{(2\pi)^2} \int b db J_0\left(\left(\vec{k}_\alpha - \vec{k}_{\alpha'} - \vec{q}\right)_{\perp} b\right) (1 - \Gamma(b)) \\ &= \delta^3(\vec{q}_0 - \vec{q}) \\ &\quad - \frac{\delta\left(\left(\vec{q}_0 - \vec{q}\right)_{\parallel}\right)}{(2\pi)^2} \int b db J_0\left(\left(\vec{q}_0 - \vec{q}\right)_{\perp} b\right) (1 - \Gamma(b)) \end{aligned}$$

Distortion の効果 ($q=q_0$ にピーク)

~ $k_{\alpha'}$ を z 軸とした弾性散乱の散乱振幅

非弾性散乱 (運動量表示)

$$T_{\alpha'\alpha}(\vec{k}_\alpha, \vec{k}_{\alpha'}) = \int d^3q D(\vec{q}) \tilde{\rho}_{tr}(\vec{q}) \tilde{V}_{aN}(\vec{q})$$

$$\tilde{V}_{aN}(\vec{q}) \approx -\frac{V\lambda^3}{\pi^{3/2}} \exp[-(q\lambda)^2] \quad (\lambda : \text{range of interaction})$$

$$\tilde{\rho}_{tr}(\vec{q}) = \tilde{G}_{\ell jm}(q) Y_{\ell m}^*(\hat{q})$$

$$\tilde{\rho}_{tr}^{\ell=2}(\vec{q}) \propto Y_{\ell m}^*(\hat{q}) \exp(-(qa)^2) \times$$

W-S density の場合

$$\left[j_2(qR) + 4\left(\frac{a}{R}\right)^2 qR j_1(qR) + 4\left(\frac{a}{R}\right)^4 (qR)^2 j_0(qR) \right]$$

$$D(\vec{q}) \approx \delta((\vec{q}_0 - \vec{q})_{//}) \times$$

$$\left[\delta^2((\vec{q}_0 - \vec{q})_{\perp}) - \frac{1}{(2\pi)^2} \int b db J_0((\vec{q}_0 - \vec{q})_{\perp} b) (1 - \Gamma(b)) \right]$$

非弾性散乱（運動量表示）

相互作用に密度依存がある Folding 模型の場合

$$F_{\alpha'\alpha}(\vec{r}) = \int d^3 r' \rho_{tr}(\vec{r}') V_{aN}(|\vec{r} - \vec{r}'|, \rho_0(\vec{r}'))$$

通常の密度依存は Factorize されている

$$V_{aN}(|\vec{r} - \vec{r}'|, \rho_0(\vec{r}')) = g(\rho_0(\vec{r}')) V_{aN}^0(|\vec{r} - \vec{r}'|)$$

$$\begin{aligned} F_{\alpha'\alpha}(\vec{r}) &= \int d^3 r' \rho_{tr}(\vec{r}') g(\rho_0(\vec{r}')) V_{aN}^0(|\vec{r} - \vec{r}'|) \\ &\equiv \int d^3 r' \bar{\rho}_{tr}(\vec{r}') V_{aN}^0(|\vec{r} - \vec{r}'|) \end{aligned}$$

$$\bar{\rho}_{tr}(\vec{r}') = \rho_{tr}(\vec{r}') g(\rho_0(\vec{r}'))$$

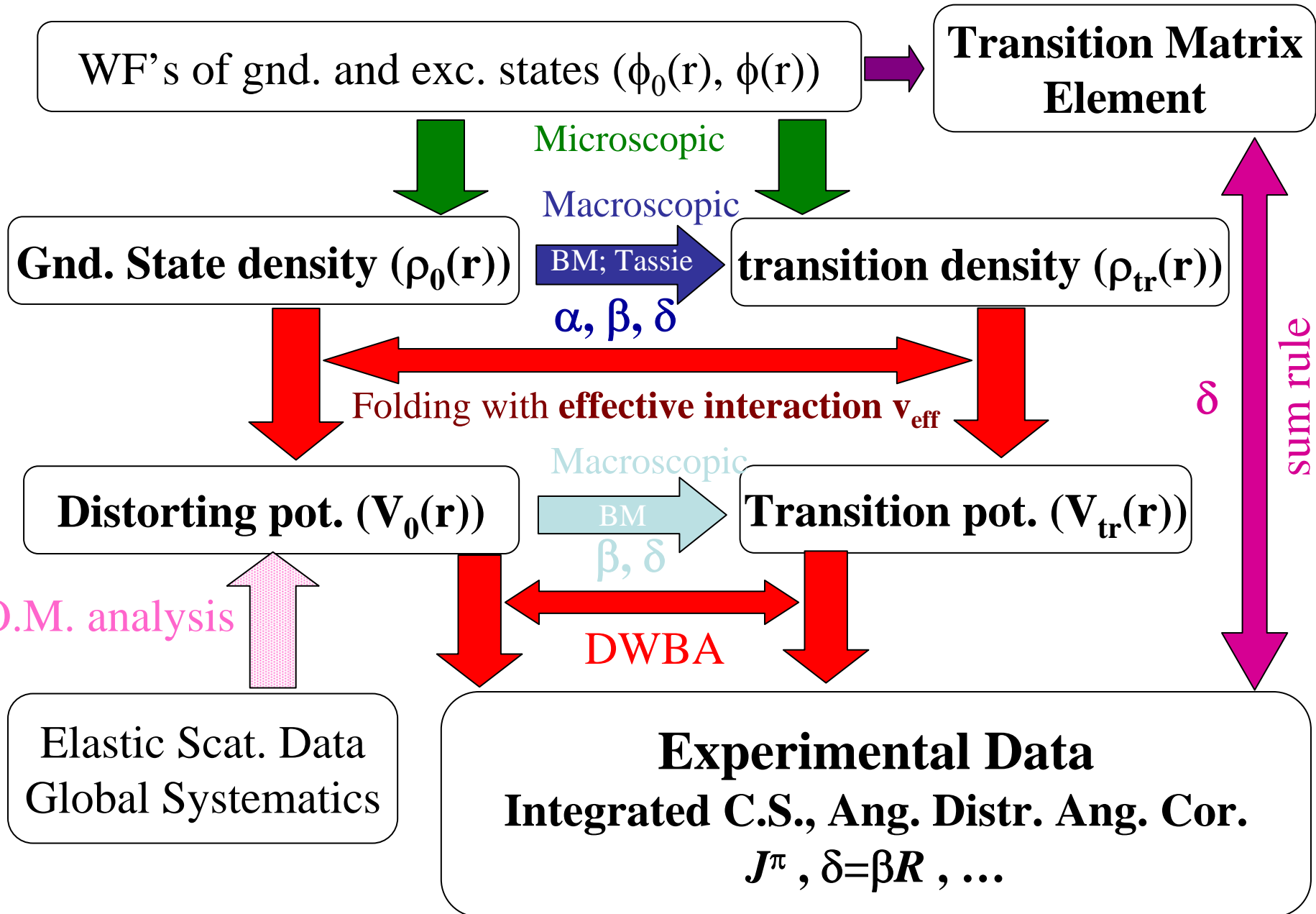
と、密度依存を遷移密度に繰り込めば、(Z. Phys. A225 (1984) 316)

$$\tilde{F}_{\alpha'\alpha}(\vec{q}) = \tilde{\rho}_{tr}(\vec{q}) \tilde{V}_{aN}^0(\vec{q})$$

高運動量成分が削られる

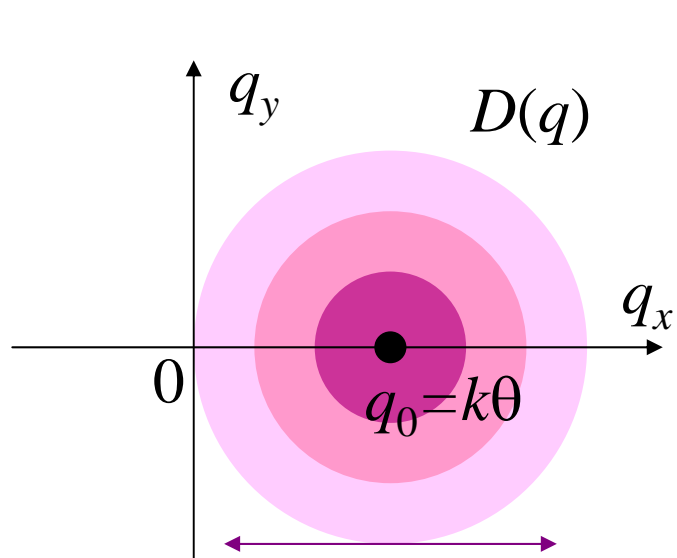
弾性・非弾性散乱から何がわかるか

Analysis of Alpha inelastic excitation

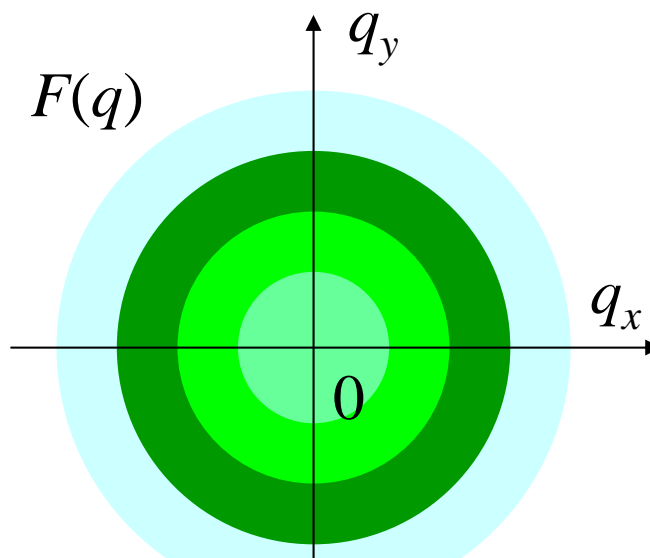


弾性・非弾性散乱から何がわかるか

- 弾性散乱の角度分布～Profile function の2次元 Fourier 変換
ポテンシャルの大きさ、表面の厚さ、引力の強さ、吸収の強さ。
- 角度分布の形は、移行角運動量（～遷移密度の Fourier 変換）で決まる。(cf. PWBA) 歪曲波の影響



弾性散乱の角度分布の拡がり



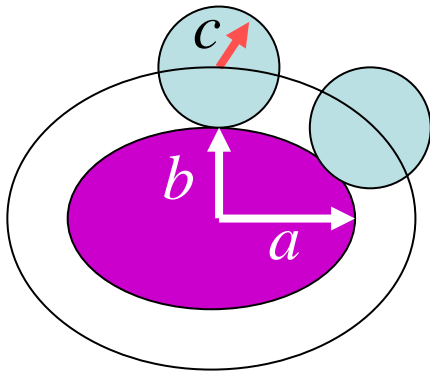
$j_l(qR)$ の振動パターン

非弾性散乱から何がわかるか (変形長)

- 断面積の絶対値は、形状因子の大きさ～遷移密度の大きさで決まる。巨視的模型では、 βR (変形長) の大きさ。

$$F_{\alpha'\alpha}(\vec{r}) = (I_A M_A \ell m | I_{A^*} M_{A^*}) \frac{\beta_\ell R_0}{\sqrt{2\ell+1}} \frac{dU(r, R)}{dR} \Big|_{R=R_0} Y_{\ell m}^*(\Omega)$$

- 半径 c の球形フローズで、半径 r 、変形度 β の原子核を見たときの見かけの変形度は β' となるが、変形長は同じ



$$\beta = \text{const.} \times \frac{a-b}{a+b} = \text{const.} \times \frac{a-b}{2R}$$

$$\beta' = \text{const.} \times \frac{a-b}{a+b+2c} = \text{const.} \times \frac{a-b}{2(R+c)}$$

$$\beta R = \beta' (R+c)$$

非弾性散乱から何がわかるか (モーメント)

- (folding 模型のセンスで)ポテンシャルの形状を、フローズの大きさ(相互作用のレンジ)をunfold すれば、原子核の形状にやきなおせる。

$$F(\vec{r}) = \int d^3 r' g(\vec{r} - \vec{r}') f(\vec{r}')$$

$$[r^n]_F \equiv \int d^3 r r^n F(\vec{r}) = [r^n]_g + [r^n]_f$$

- Gaussian のようにF, g, f が x, y, z の関数に factorize でき、g が球形であれば、

$$F(\vec{r}) = \int d^3 r' g(|\vec{r} - \vec{r}'|) f(\vec{r}')$$

$$[x^n]_F = [x^n]_g + [x^n]_f \quad ; \quad [y^n]_F = [y^n]_g + [y^n]_f$$

$$[z^n]_F = [z^n]_g + [z^n]_f$$

$$[r^{\ell+n} Y_{\ell m}(\hat{r})]_F = [r^{\ell+n} Y_{\ell m}(\hat{r})]_f$$

非弾性散乱から何がわかるか (換算遷移確率)

$$\left[r^{\ell+n} Y_{\ell m}(\hat{r}) \right]_F = \left[r^{\ell+n} Y_{\ell m}(\hat{r}) \right]_f$$

が成り立てば、換算遷移確率は、ポテンシャルの $r^{\ell+n} Y_{\ell m}$ 期待値であらわすことができる

$$\left\langle r^2 Y_{20}(\hat{r}) \right\rangle_{WS} \approx \frac{3}{4\pi} \beta_2 R_0^2 \left[1 + \left(\frac{\pi a}{R_0} \right)^2 \right] \quad \text{c.f. 参考資料(W-Sに関するメモ)}$$

- あるフローブで見たときの換算遷移確率とみなせる
- (注意) 第2項は必ずしも小さくない。通常原子核では、 $a \sim 0.65 \text{ fm}$ なので、半径が 5 fm だとすると、4% くらい。軽い核で半径が 3 fm だとすると、45% にも及ぶ。まして、中性子ハロー核のように a が実効的に大きければ、決して無視できる量ではない!

非弾性散乱から何がわかるか（核内陽子・中性子）

- フローブと核内陽子、フローブと核内中性子の相互作用の強さが異なる場合、形状因子を陽子部分と中性子部分にわけて考える

$$\begin{aligned} F(\vec{r}) &= F_p(\vec{r}) + F_n(\vec{r}) \\ &= \int d^3 r_p ' V_p(\vec{r} - \vec{r}') \rho_{tr}^p(\vec{r}') + \int d^3 r_n ' V_n(\vec{r} - \vec{r}') \rho_{tr}^n(\vec{r}') \end{aligned}$$

- 相互作用の形状および遷移強度の形状が同じで、その強度のみが異なる場合は、

$$\begin{aligned} F(\vec{r}) &= (b_p M_p + b_n M_n) \int d^3 r' f(\vec{r} - \vec{r}') \rho_{tr}(\vec{r}') \\ \langle r^2 Y_{20}(\hat{r}) \rangle_{pot} &\approx \frac{3}{4\pi} \beta_2 R_0^2 \approx M_{eff} \approx \frac{b_p M_p + b_n M_n}{b_p Z + b_n N} \end{aligned}$$

Bernstein's Prescription

非弾性散乱から何がわかるか（確からしさ）

- いろいろな仮定の正当性をチェック
 - 特に、Exotic な現象を導くとき、用いた仮定は正当か？
 - 核内陽子と核内中性子の違いを導くときに、それらが同じことを前提にした仮定を用いていないか？
- 基本的な量を計算する。
 - 波数(運動量)、移行運動量の大きさ、核およびポテンシャルの半径、平均自由行程 etc.
 - Profile function の計算は Excel でもできる。
 - Fourier 変換はちょっと面倒だけれど...
- 求めたい物理量の精度はどれくらいか？
 - 10-20%の精度で求めるならあまりこだわらなくてもよい
 - それをこえる精度の場合、Consistency 等の様々なチェックが必要
- 計算コードが思った計算結果を出したか(後述)

非弾性散乱から何がわかるか (崩壊の異方性)

- 非弾性散乱の結果、励起された原子核は整列している

$$\begin{aligned} T_{\alpha'\alpha}^l(\vec{k}, \vec{k}')_{PWBA} &\approx \langle \Phi_{\alpha'}(\vec{k}', \vec{r}) | V_l(\vec{r}) | \Phi_{\alpha}(\vec{k}, \vec{r}) \rangle \\ &= \frac{1}{(2\pi)^3} \int d^3r V_T(r) Y_{l0}^*(\hat{r}) \exp[i(\vec{k} - \vec{k}') \cdot \vec{r}] \\ &= \frac{1}{2\pi^2} \int r^2 dr j_l(qr) V_T(r) Y_{l0}(\hat{q}) \end{aligned}$$

- PWBA では z 軸を移行運動量ベクトルの方向にとると、 $m=0$ の成分だけしかない
- 歪曲波の効果は、これをにじませるが、 $m=0$ の成分が強いという性質は維持されている
- 超前方を除いて、移行運動量ベクトルは、散乱平面内でビーム軸とほぼ垂直なので、散乱粒子の散乱角度を積分しても、残留核の大きな整列が残る

$^4\text{He}(^{12}\text{Be}, ^{12}\text{Be} \gamma)$ at 60 A MeV

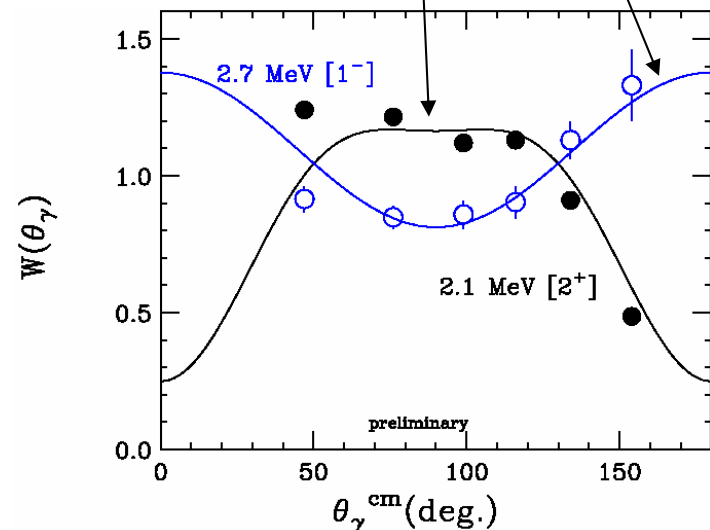
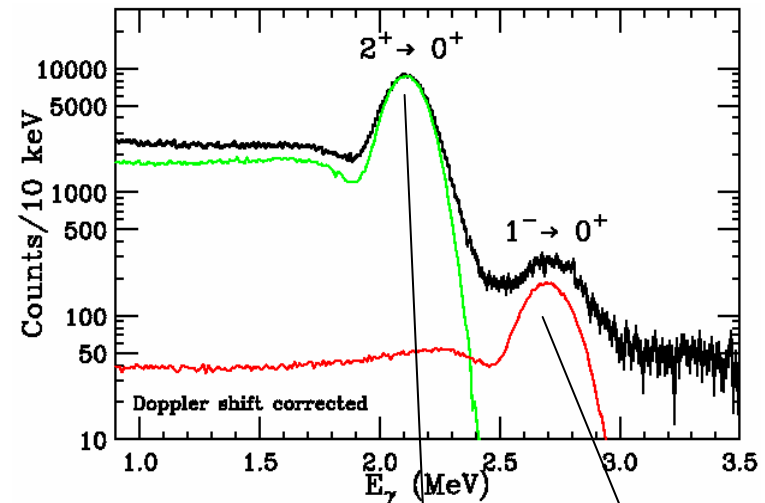
Angular distribution of γ -decay after (α, α')

2.1 & 2.7 MeV States excited
by (α, α')

Alignments of $^{12}\text{Be}^*$
Anisotropic Angular
Distribution of γ

Consistent with Prediction of
DWBA calculation
assuming 2^+ & 1^- excitation,
resp.

Confirmation of 1^-
assignment for 2.7 MeV
state



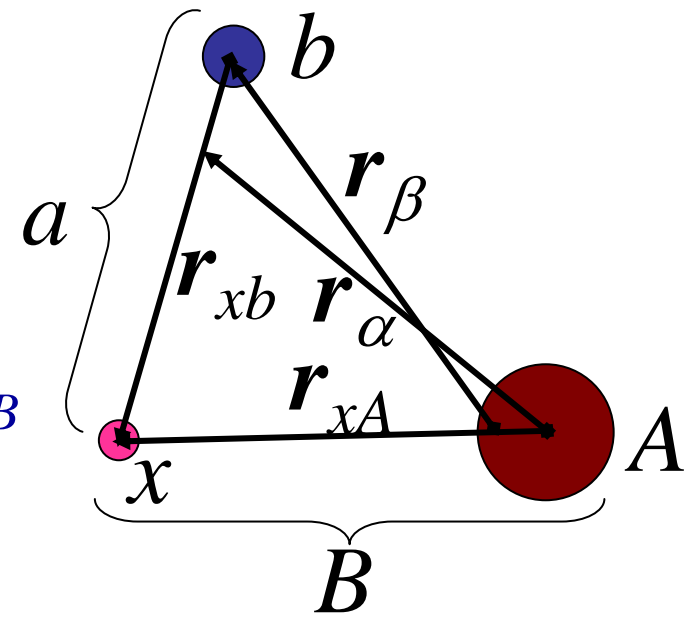
Spectroscopic Factor について

Spectroscopic Factor

$$C^2 S = (2I_2 + 1)^{-1} \langle T_2 T_{2z} I_2 \parallel a^+(j) \parallel T_1 T_{1z} I_1 \rangle^2$$

$$C = \langle T_1 T_{1z} 1/2 m_t \mid T_2 T_{2z} \rangle$$

- Spectroscopic Factor は、配位空間における overlap で定義されている。
- 核子移行反応では、波動関数の運動量成分が、ある限定された領域に存在する割合が求められる。
- 大きな運動量をもつ領域の場合、短距離相関のため、1核子+芯を仮定した、local な波動関数がよいとは限らない。
- ノックアウト反応の場合、運動量移行を制御できるので、基底状態における1粒子状態の占有率を求められる可能性がある。ただし、フローブによって、波動関数の座標空間における領域も制限される



$$\vec{k}_{xb} = \frac{b}{a} \vec{k}_\alpha - \vec{k}_\beta ; \vec{k}_{xA} = \vec{k}_\alpha - \frac{A}{B} \vec{k}_\beta$$

$$\frac{\hbar^2 \kappa_a^2}{2\mu_{xb}} = \varepsilon_a ; \frac{\hbar^2 \kappa_B^2}{2\mu_{xA}} = \varepsilon_B$$

Binding energies of a and B

$$\langle \phi_{c'} | V_{xb} | \phi_c \rangle = - \frac{1}{(2\pi)^3} \frac{\hbar^2}{2\mu_{xb}} (k_{xb}^2 + \kappa_a^2) \times$$

$$\int d^3 r_{xb} \psi_a(\vec{r}_{xb}) e^{i\vec{k}_{xb} \cdot \vec{r}_{xb}} \int d^3 r_{xA} \psi_B^*(\vec{r}_{xA}) e^{-i\vec{k}_{xA} \cdot \vec{r}_{xA}}$$

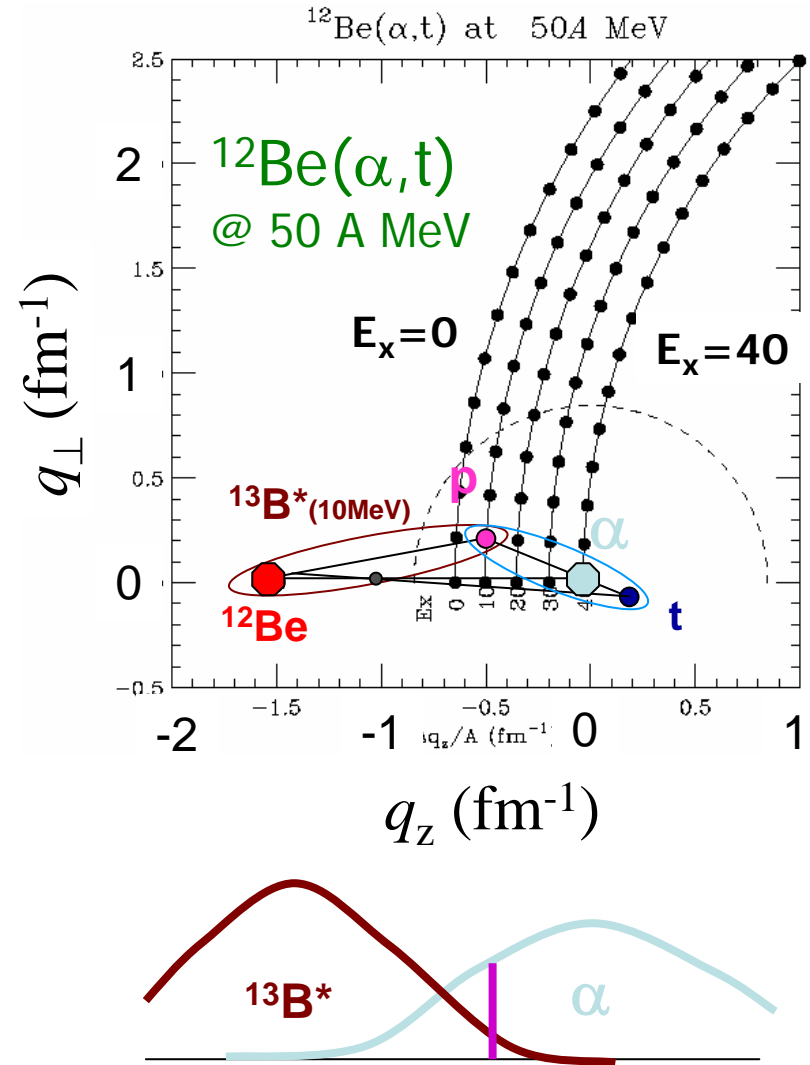
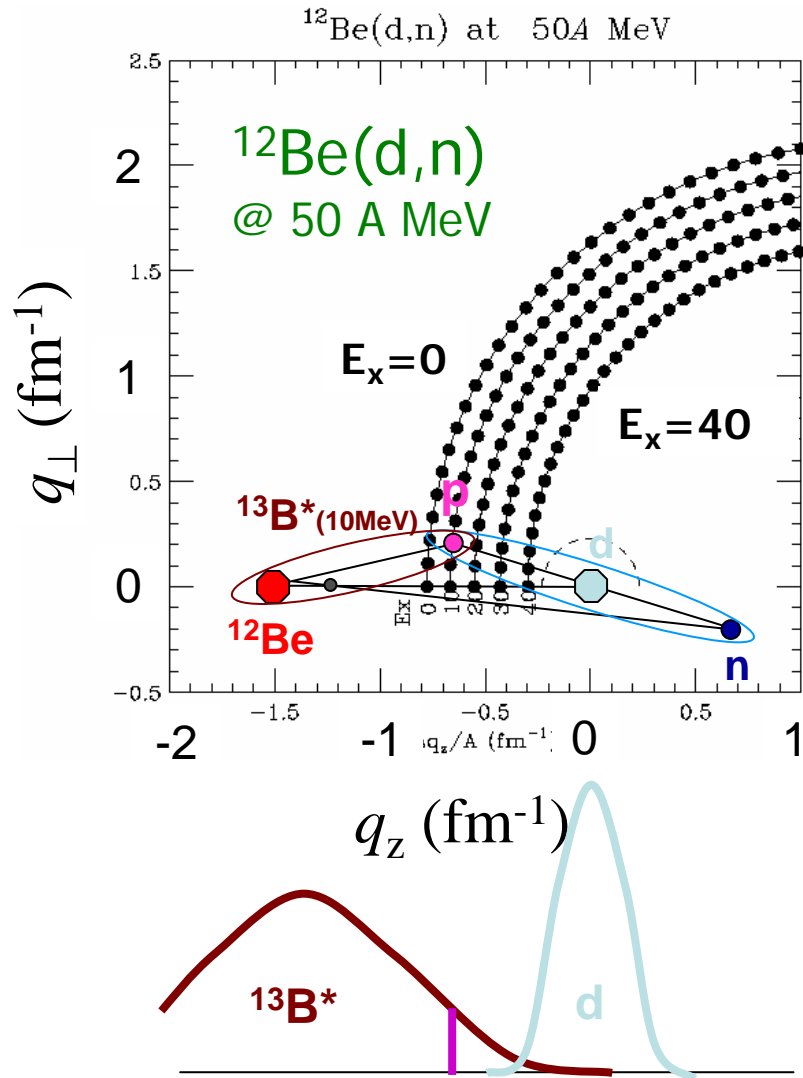
$$\langle \phi_{c'} | V_{xA} | \phi_c \rangle = - \frac{1}{(2\pi)^3} \frac{\hbar^2}{2\mu_{xA}} (k_{xA}^2 + \kappa_B^2) \times$$

$$\int d^3 r_{xb} \psi_a(\vec{r}_{xb}) e^{i\vec{k}_{xb} \cdot \vec{r}_{xb}} \int d^3 r_{xA} \psi_B^*(\vec{r}_{xA}) e^{-i\vec{k}_{xA} \cdot \vec{r}_{xA}}$$

Same value but different expressions

Fourier Transforms of wave functions of nucleon (x) in a and B

Proton Transfer in Momentum Space



ストリッピング反応

- 微分断面積は、2つの波動関数のFourier成分の積で書ける
- Fourier成分の運動量は、入射エネルギー、Q値、および散乱角度が決まると一意的に決まる。
- エネルギーが数10MeV以上になると、これらの運動量は、大きくなってしまふ(1fm^{-1} 程度かそれ以上)。→運動量ミスマッチ
- 入射粒子 $a=b+x$ が $(0s)^n$ の場合、 x の運動量分布は、0を最大に、ほぼ単調に減少する。
- 残留核 $B=A+x$ の波動関数は、主量子数により node の数が決まるが、有限の運動量の領域では、 l によらず、運動量が大きくなるにつれ、ほぼ単調に減少する。角度分布は l によらない。
- 大運動量成分は、短距離相関と関連し、相対距離だけの関数とは限らない。

Spectroscopic Factor

$$C^2 S = (2I_2 + 1)^{-1} \langle T_2 T_{2z} I_2 \| a^+(j) \| T_1 T_{1z} I_1 \rangle^2$$

$$C = \langle T_1 T_{1z} 1/2 m_t | T_2 T_{2z} \rangle$$

- Spectroscopic Factor は、配位空間における overlap で定義されている。

• 始状態 / 終状態が、芯 + **1** or **2** 粒子であるとは限らない。

特に Pauli blocking

(例) 中性子ハローの軌道

$$|^{12}\text{Be}\rangle = |^4\text{He-core}\rangle \otimes \left[\alpha | \pi(p)^2 \nu(p)^6 \rangle + \beta | \pi(p)^2 \nu(p)^4 \nu(sd)^2 \rangle \right]$$

$$|^{14}\text{Be}\rangle = |^4\text{He-core}\rangle \otimes \left[\pi(p)^2 \nu(p)^6 \nu(sd)^2 \right]$$

なら、

$$|^{14}\text{Be}\rangle \neq |^{12}\text{Be}\rangle \otimes \left[\alpha' | \nu(p)^2 \rangle + \beta' | \nu(sd)^2 \rangle \right]$$

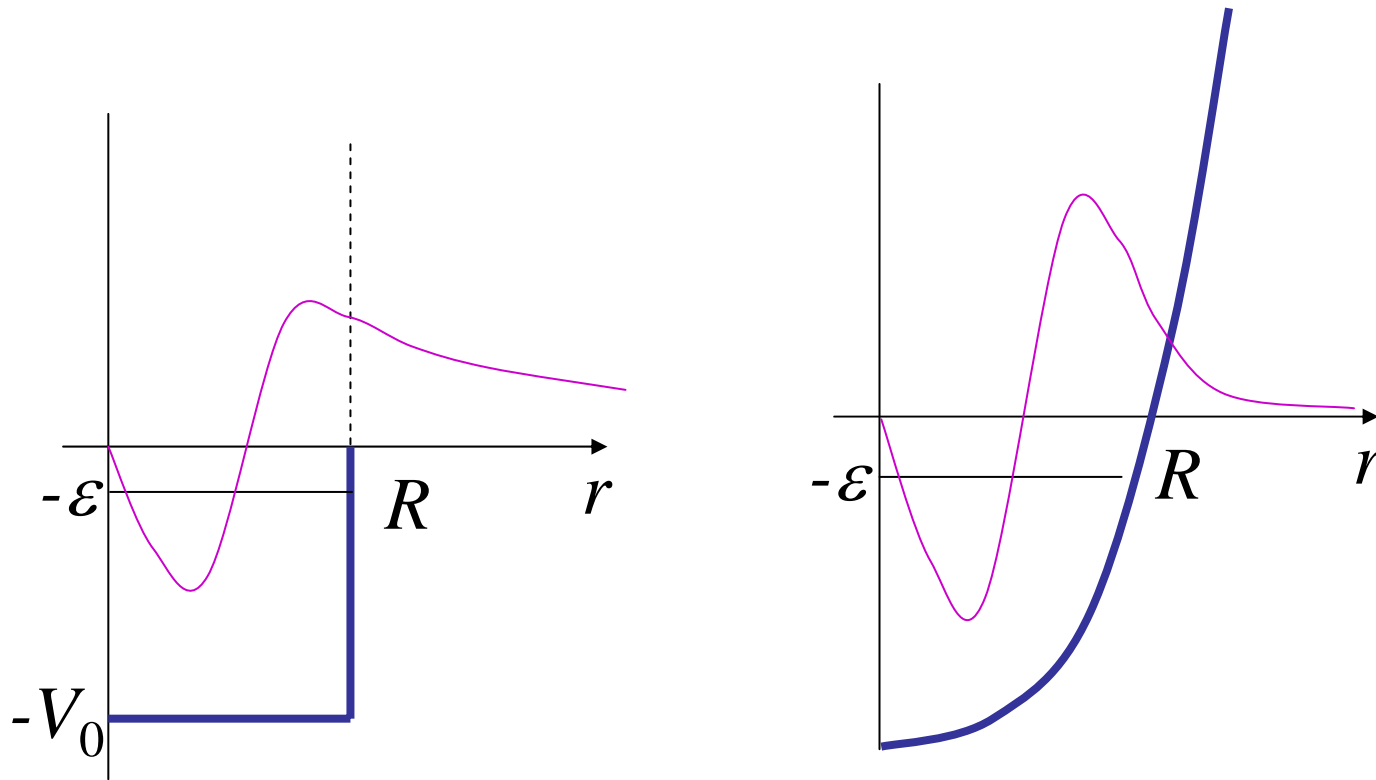
である。¹⁴Be 中には、¹²Be の基底状態以外の成分がある
殻模型計算などで、始状態と終状態の配位とその overlap を計算する
ことが必要！ 小さな配位成分が coherent に効く場合がある(集団性)

Spectroscopic Factor と ANC (asymptotic normalization constant)

- 反応では、座標空間および運動量空間のある領域の1粒子波動関数の大きさが求まる。
 - 低エネルギー核子移行反応や重イオンを用いたノックアウト反応では、運動量が小さく、外側の領域の波動関数を見る (ANC)。
 - 電子や高エネルギー核子によるノックアウト反応では、核の領域にわたる座標空間領域で、運動量の関数として波動関数を見る。(Spectroscopic Factor)
 - 中間エネルギー核子移行反応では、波動関数のうち、比較的大きな運動量成分をみる。
- 何らかの理論モデルと比較する場合、これらの特徴にあった理論モデルを用いる必要がある
 - HO殻模型計算は、Spectroscopic Factor を出せるが、ANCは出せない。

Spectroscopic Factor、ANCと一粒子波動関数

Finite well と HO では、波動関数の振幅の核内/核外比が違う。
とくに loosely bound system で顕著



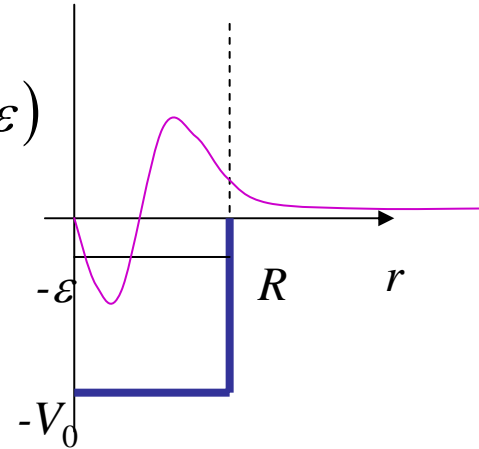
波動関数の内と外

1 粒子波動関数の運動量表示

$$\left[-\frac{\hbar^2}{2\mu} \nabla^2 + V(r) \right] \Psi(\vec{r}) = -\varepsilon \Psi(\vec{r})$$

$$\left[-\frac{\hbar^2}{2\mu} \nabla^2 + \varepsilon \right] \Psi(\vec{r}) = -V(r) \Psi(\vec{r})$$

$$\frac{\hbar^2 k_{in}^2}{2\mu} = (V_0 - \varepsilon)$$



$$(k^2 + \kappa^2) \Phi(\vec{k}) = \frac{1}{(2\pi)^{3/2}} \left(-\frac{2\mu}{\hbar^2} \right) \int d^3 r e^{i\vec{k} \cdot \vec{r}} V(r) \Psi(\vec{r})$$

$$\Phi(\vec{k}) = \frac{1}{k^2 + \kappa^2} f(\vec{k})$$

$$f(\vec{k}) = \frac{1}{(2\pi)^{3/2}} \frac{2\mu}{\hbar^2} \int d^3 r e^{i\vec{k} \cdot \vec{r}} V(r) \Psi(\vec{r})$$

$$= C (k_{in}^2 + \kappa^2) \sqrt{\frac{2}{\pi}} \int_0^R r^2 dr j_\ell(kr) j_\ell(k_{in} r) Y_{\ell m}(\hat{k})$$

$$= C \sqrt{\frac{2}{\pi}} \frac{k_{in}^2 + \kappa^2}{k^2 - k_{in}^2} R [kR j_{\ell+1}(kR) j_\ell(k_{in} R) - k_{in} R j_\ell(kR) j_{\ell+1}(k_{in} R)] Y_{\ell m}(\hat{k})$$

$$\Phi(\vec{k}) = C \sqrt{\frac{2}{\pi}} \frac{k_{in}^2 + \kappa^2}{k^2 + \kappa^2} \frac{kR^2 j_{\ell+1}(kR) j_\ell(k_{in} R) - k_{in} R^2 j_\ell(kR) j_{\ell+1}(k_{in} R)}{k^2 - k_{in}^2} Y_{\ell m}(\hat{k})$$

DWBAコードを使うときの注意

DWBAコードを使うときの注意

- **ポテンシャル**
 - Folding model にするか、Global potential にするか
 - 大きさや深さ、表面の厚さはもっともらしいか？
- **形状因子**
 - 振動モデル、回転モデル、微視的モデルのどれを用いるか
 - 核構造のどういう量を出そうとしているか？
- **求める observable**
 - 微分断面積、偏極、整列...
- **手計算、電卓などで、基本的な物理量を計算**
 - 入射エネルギーと波数、速度、角度と移行運動量、入射角運動量
 - 核半径とポテンシャル半径
 - ポテンシャルや遷移密度の図くらいノートにはっておこう
- **よく使っている人から入力データの例をもらい、マニュアルとつきあわせよう。**
 - そのときに、上記の基本的物理量がどれくらい違うかも確認しよう

DWBAコードを使うときの注意

- 計算コードに入力するパラメータ
 - 積分ステップと積分範囲
 - 積分ステップは、入射波数の逆数および表面の厚さより小さく
 - 重イオンの場合相当小さくしないといけない
 - 積分範囲(matching radius)は相互作用がなくなる場所まで
 - クーロン励起のときは、範囲を変えて結果の安定性をチェック
 - ファイルから形状因子を読み込むときは、積分範囲まで定義する必要がある
 - 計算する角運動量の範囲
 - $\text{Matching radius} \times \text{入射波数}$
 - 励起モデルの指定とそれに必要なパラメータ
 - 変形度か変形長か？
 - 核力励起だけか、クーロン励起も含めるか
 - 出力内容の指定
 - 計算すべき Observable
 - 計算途中、ポテンシャル、形状因子は1度は出力してチェック
 - S行列もたまには出力してみよう

DWBAコードを使うときの注意

• 出力内容のチェック

- 基本的物理量は、思ったようになっているか
- Warning がでていないか
- 指定した励起モデルになっているか
- 入力パラメータを変化させて、そのふるまいを見ておこう
- 可能なら、他の計算コードで同じ結果がでるかチェック
- 可能なら、他の計算モデルで同様の結果がでるかチェック
 - 特に、クーロン励起の場合、Virtual Photon Theory とのクロスチェックが役立つ

DWBAコードの使用例

$$E_{cm} = 1148 \text{ MeV}$$

$$k = 26.8 \text{ fm}^{-1}$$

$$\eta = 11.$$

$$R = 8.9 \text{ fm}$$

$$a = 0.8 \text{ fm}$$

$$V = 0.50 \text{ MeV}$$

$$W = 0.57.9 \text{ MeV}$$

$$\Delta R = 0.0186 \text{ fm}^{-1}$$

$$R_{match} = 200$$

$$= 400$$

$$= 800 \text{ fm}$$

$$\ell_{max} = 5450$$

$$= 10900$$

$$= 21800$$

